第4回 WBAレクチャー[オンライン] 2021/11/17

脳のコンポーネント図の作り方: プロセス間関係の整理と確率モデルによる記述

第2部 確率モデルによる脳の コンポーネント図の作り方



確率的生成モデルへの 変換方法と実例紹介

立命館大学 情報理工学部 講師 谷口 彰





自己紹介

氏名: 谷口 彰 職位:講師

所属: 立命館大学 情報理工学部 創発システム研究室





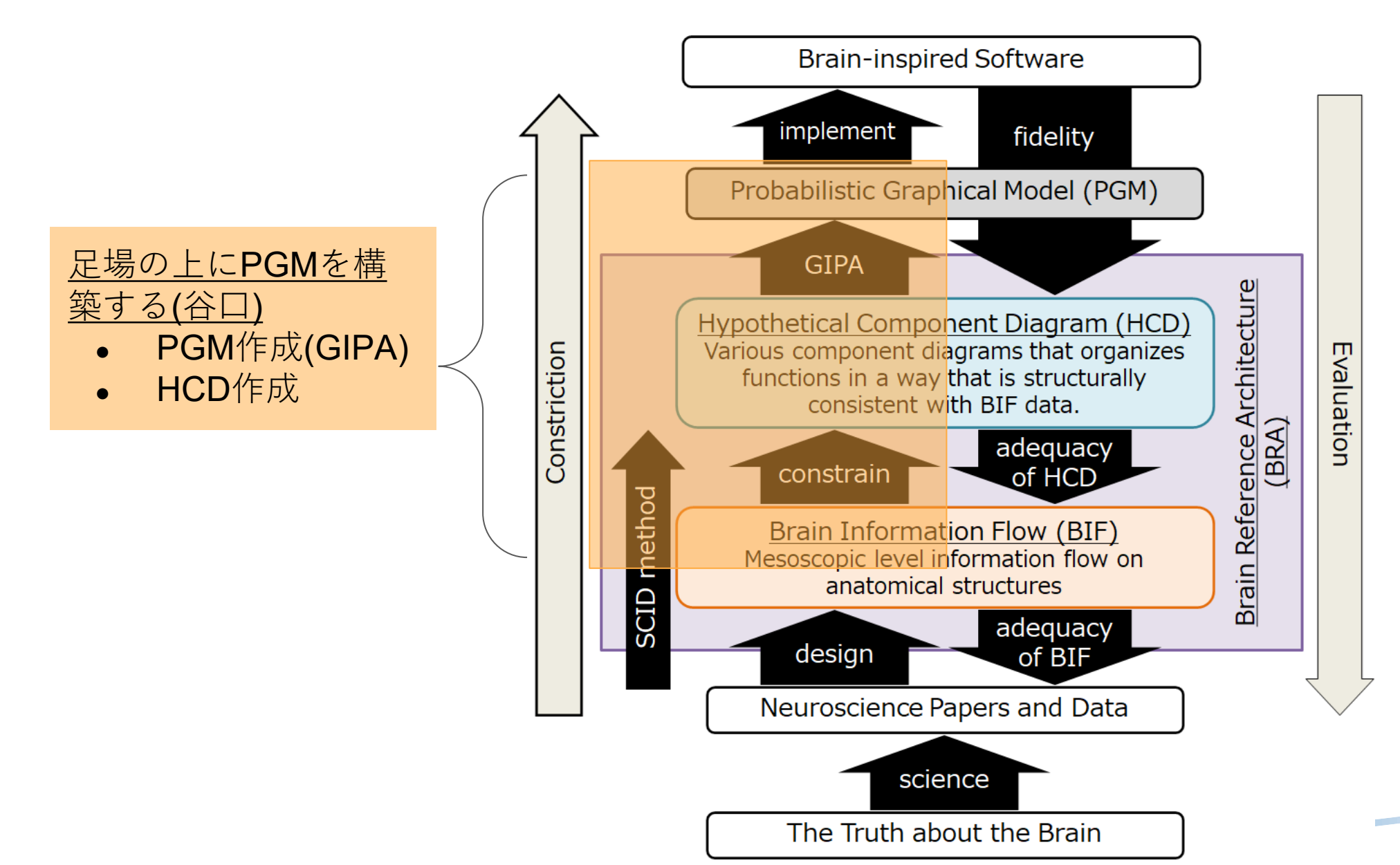
略歴

- ◆ 2013年 3月 立命館大学情報理工学部 知能情報学科 卒業 学士(工学)
- ◆ 2015年 3月 立命館大学大学院 情報理工学研究科 博士前期課程 修了 修士(工学)
- ◆ 2018年 3月 立命館大学大学院情報理工学研究科博士後期課程 修了 博士(工学)
- ◆ 2015年 5月~2017年 3月 立命館大学 総合科学技術研究機構 リサーチアシスタント
- ◆ 2016年 4月~2016年 7月 Visiting research student, Centre for Robotics and Neural Systems Research Group, Plymouth University, U.K.
- ◆ 2017年 4月~2019年 3月 日本学術振興会 特別研究員 (DC2, PD)
- ◆ 2019年 4月~2022年 3月 立命館大学 情報理工学部 特任助教
- ◆ 2022年 4月~ 立命館大学 情報理工学部 講師

主な研究テーマ:「確率的生成モデルに基づくロボットによる場所概念および語彙の獲得」

- ▶ 位置情報・言語情報・画像情報といったマルチモーダル情報から、教師なし機械学習手法により場所概念(場所のカテゴリ)や場所に関する語彙の獲得を目指す研究。
- ▶ 記号創発ロボティクス・機械学習・知能ロボット

本レクチャーの全体構成



目次

- 1. これまでの取り組み紹介
- 2. BRAとしての確率的生成モデル(PGM)構築:GIPA
- 3. HF-PGM:海馬体を参照した確率的生成モデル
 - 1. 海馬体の脳科学的知見
 - 2. HF-PGMのグラフィカルモデル

4. 音声言語の二重分節解析を担う確率的生成モデル

- 1. 聴覚野・言語野の脳科学的知見
- 2. DAA-PGMのグラフィカルモデル
- 5. まとめ

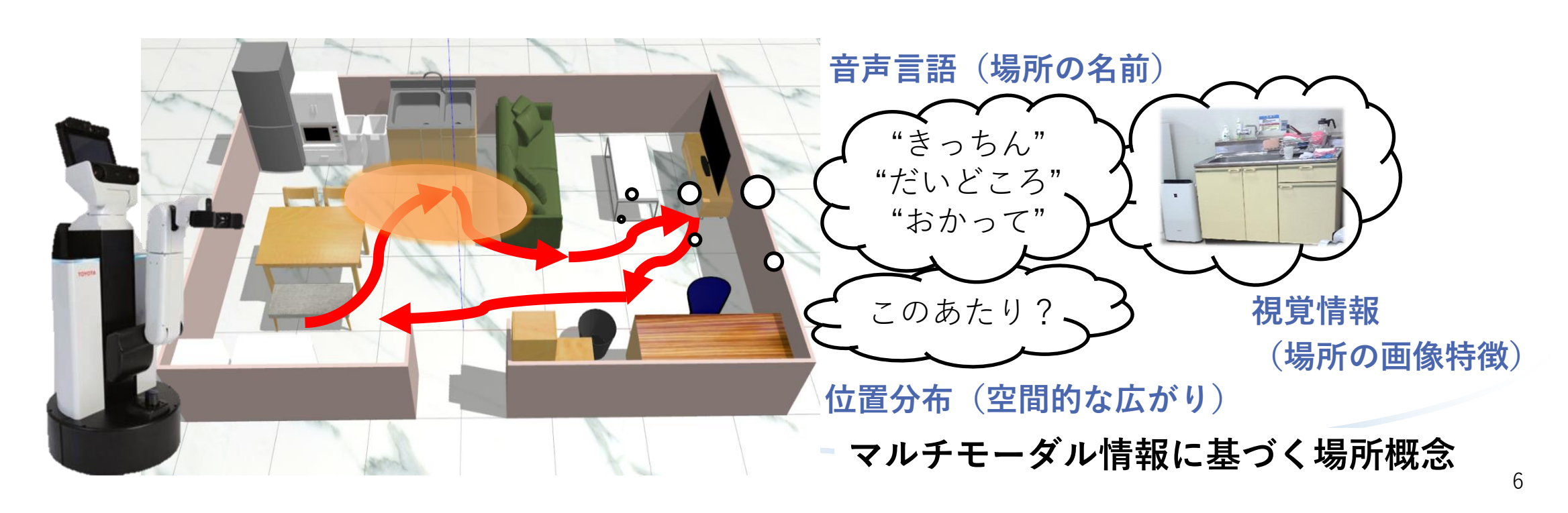
今回の発表の論文URL:

- Hippocampal formation-inspired probabilistic generative model
 - https://www.sciencedirect.com/science/article/pii/S0893608022001332
- Brain-inspired probabilistic generative model for double articulation analysis of spoken language
 - https://arxiv.org/abs/2207.02457

BRAアプローチ以外の これまでの取り組み

これまでの取り組み:研究背景

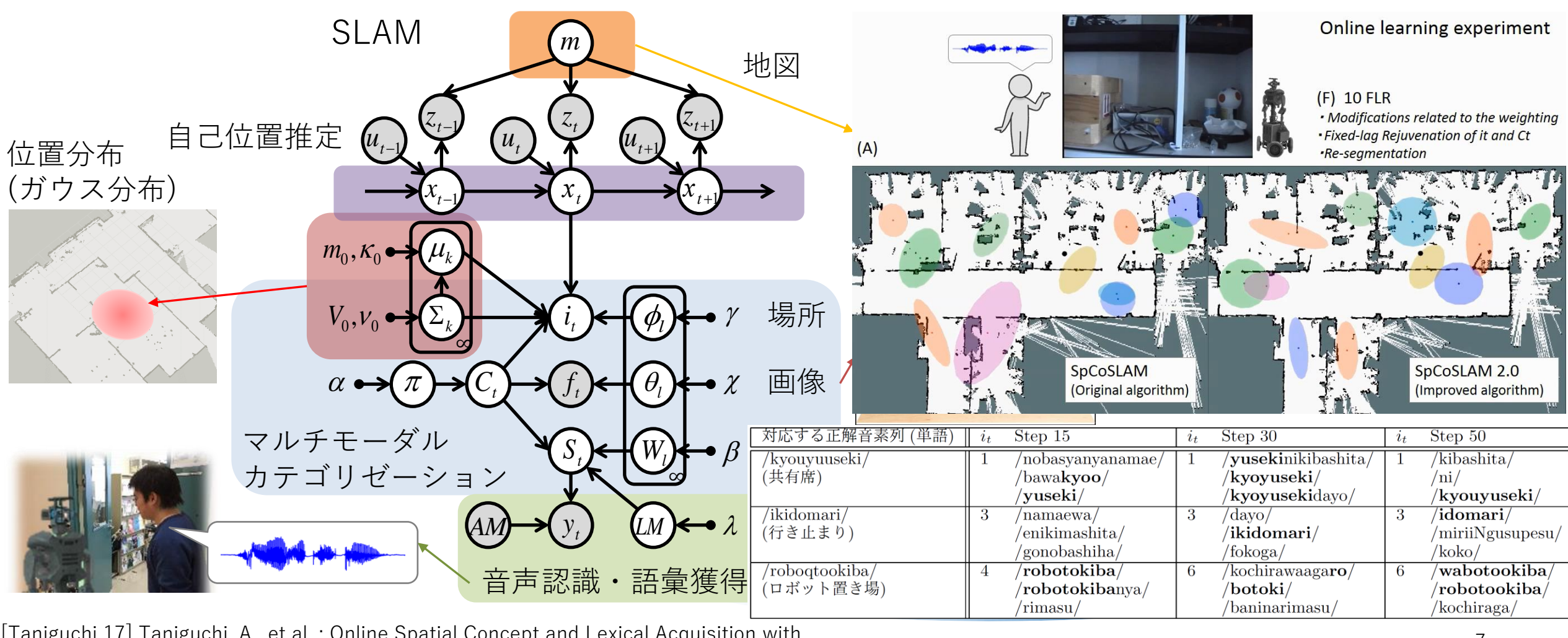
- 人間の様々な生活環境で動作するロボットは、未知環境において 適応的に**場所概念(場所のカテゴリ知識)や語彙**を学習すること が求められる.
 - 対象の範囲が明確ではなく,環境や人によって異なる場所概念を事前に 人手で設計することは難しい.
 - ロボットが**自らの経験を元に自律的に概念を形成**する必要がある.



SpCoSLAM [Taniguchi 17]

マルチモーダル情報に基づくノンパラメトリックベイズモデルとSimultaneous Localization And Mapping (SLAM) 、語彙獲得の統合モデル

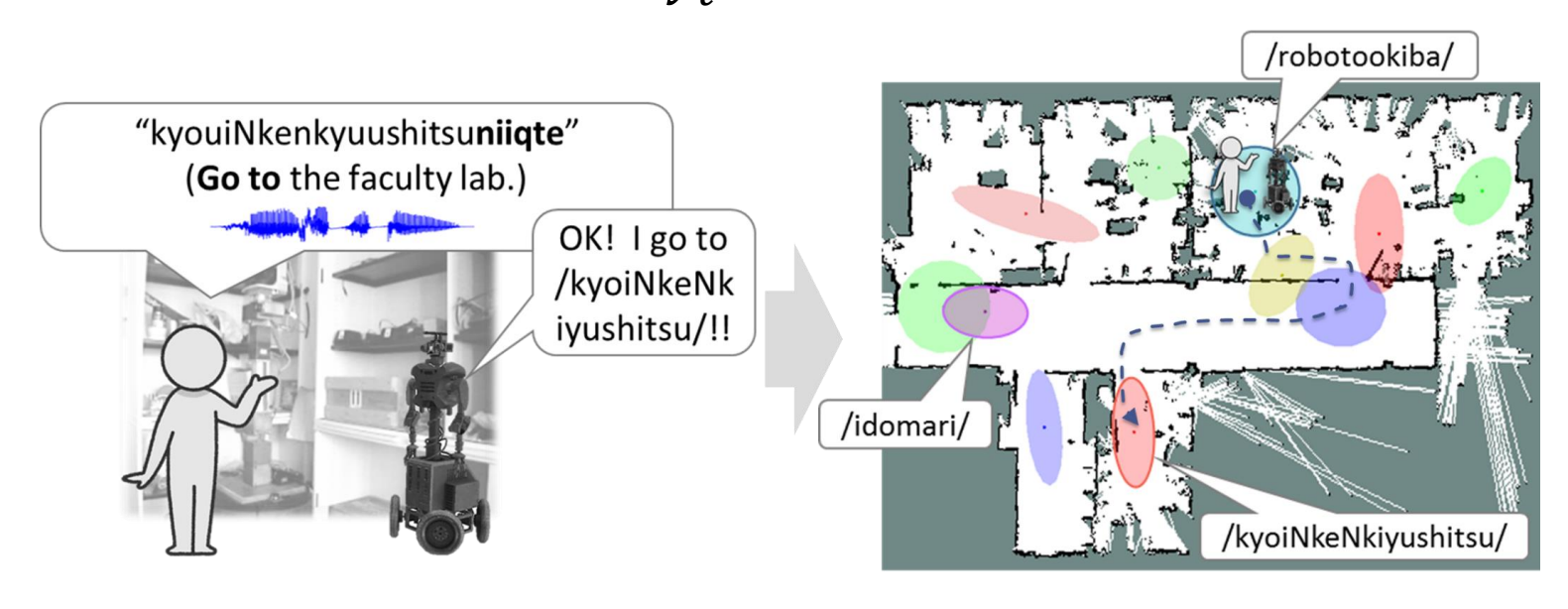
未知環境下からの地図・場所概念・語彙の逐次学習が可能

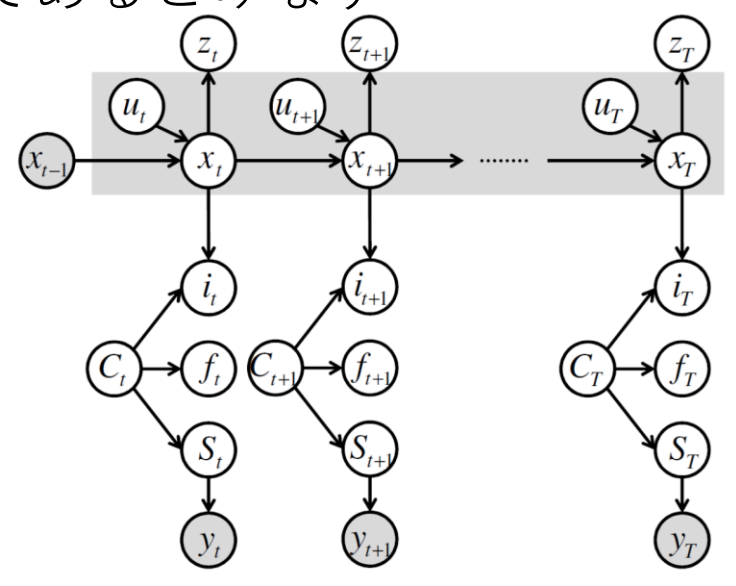


[Taniguchi 17] Taniguchi, A., et al.: Online Spatial Concept and Lexical Acquisition with Simultaneous Localization and Mapping, IEEE/RSJ IROS, pp. 811-818 (2017)

場所概念を用いた確率推論に基づく音声命令からのパスプランニング

- SpCoNavi:確率的生成モデルに基づく音声命令からの経路計画
 - Control as probabilistic inference(確率推論による制御)に基づく軌道の確率 推論
 - 音声発話命令 y_t をゴールシグナルを表す観測変数であるとみなす

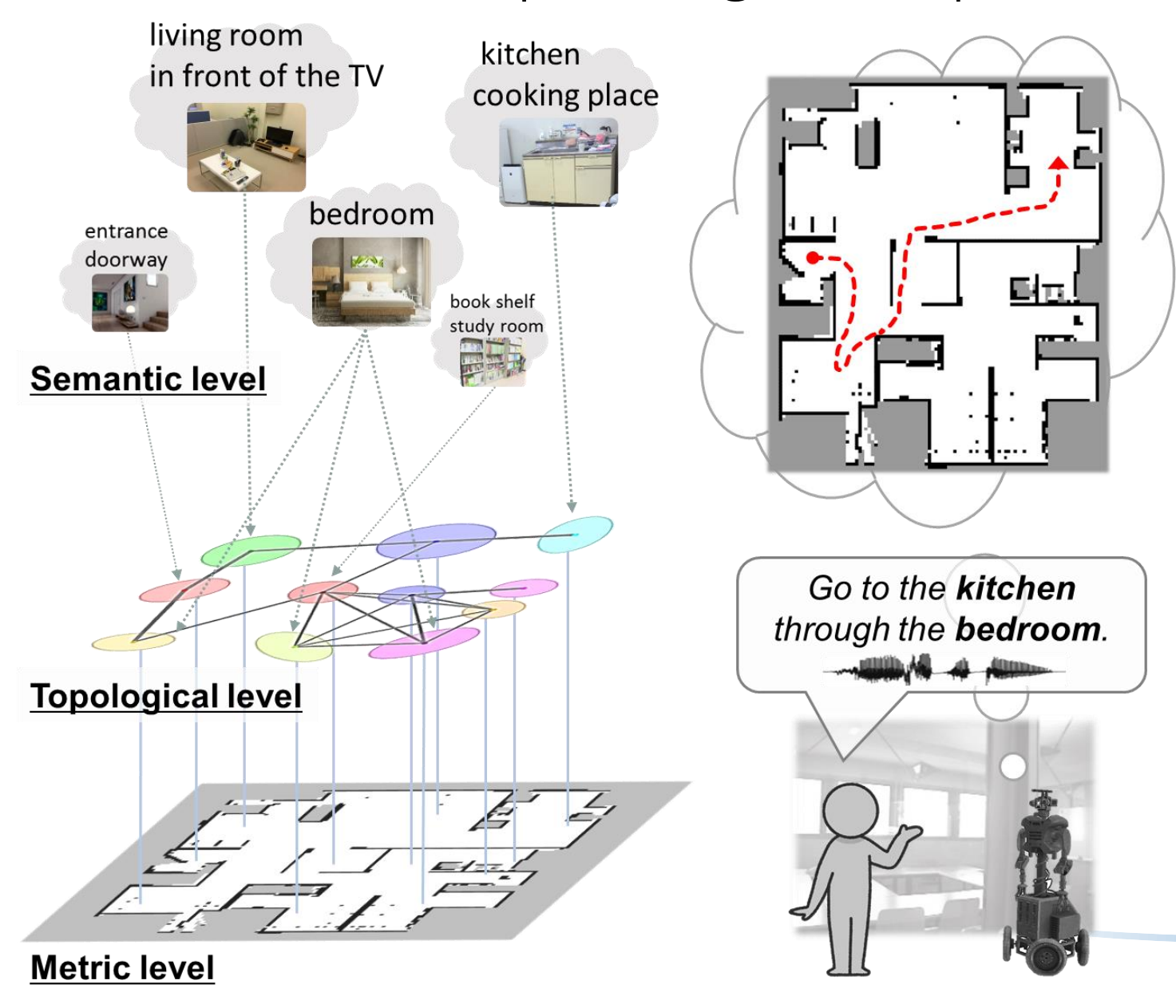




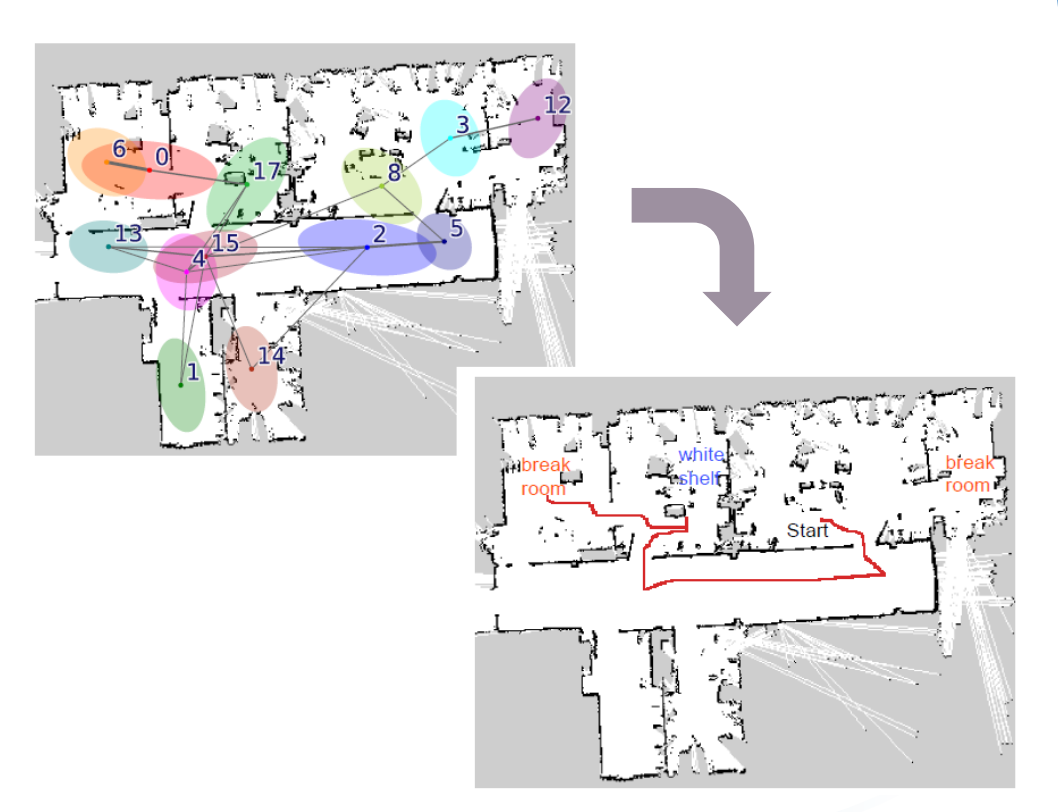
$$u_{1:T} = \underset{u_{1:T}}{\operatorname{argmax}} p(\tau \mid y_{1:T}, x_0, \Theta_G)$$

- ロボットが自律的に獲得した場所の概念・語彙を活用
- ゴールとして地図上の座標点を指定する必要がなく、**人の音声命令から目的地までの ナビゲーション**が可能

Spatial Concept-based Topometric Semantic Mapping for Hierarchical Path-planning from Speech Instructions



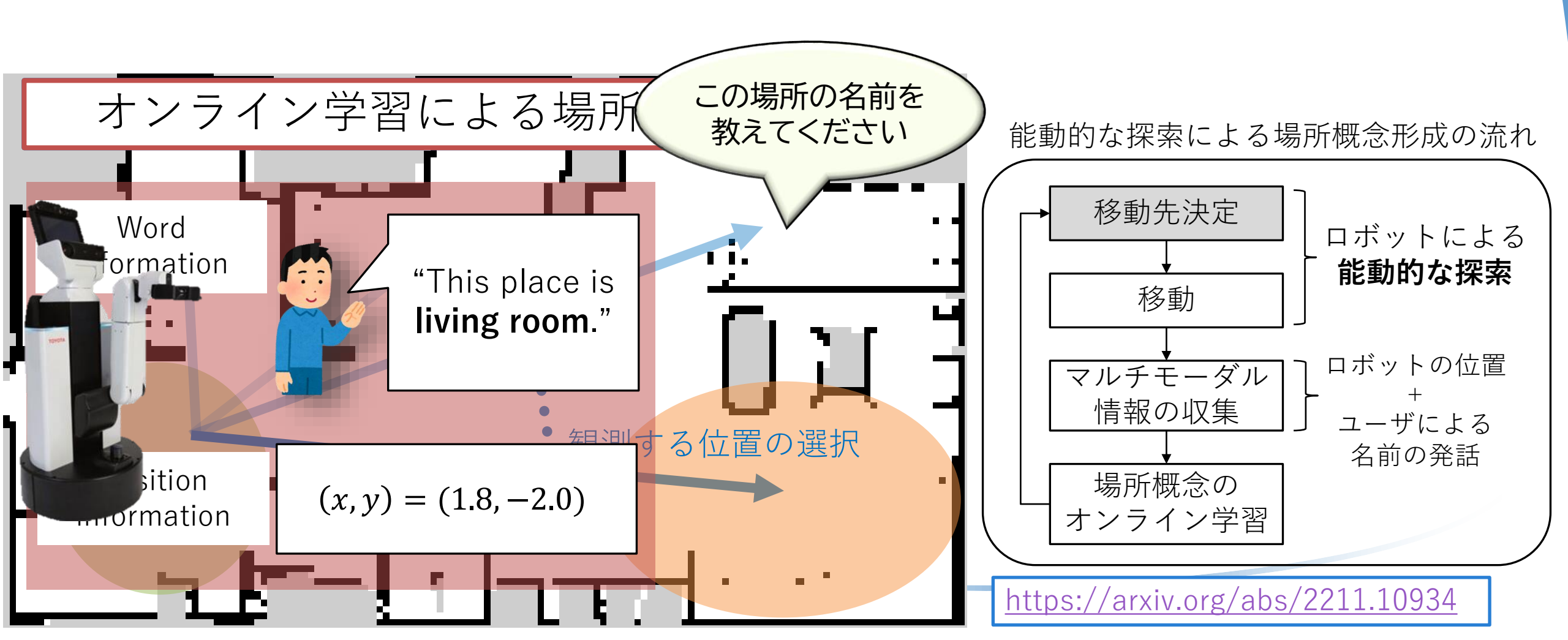
Hierarchical spatial representation provides a mutually understandable form for humans and robots to render language-based navigation tasks feasible.



(Preprint) https://arxiv.org/abs/2203.10820

SpCoAE: Spatial Concept Formation with Information Gain-based Active Exploration

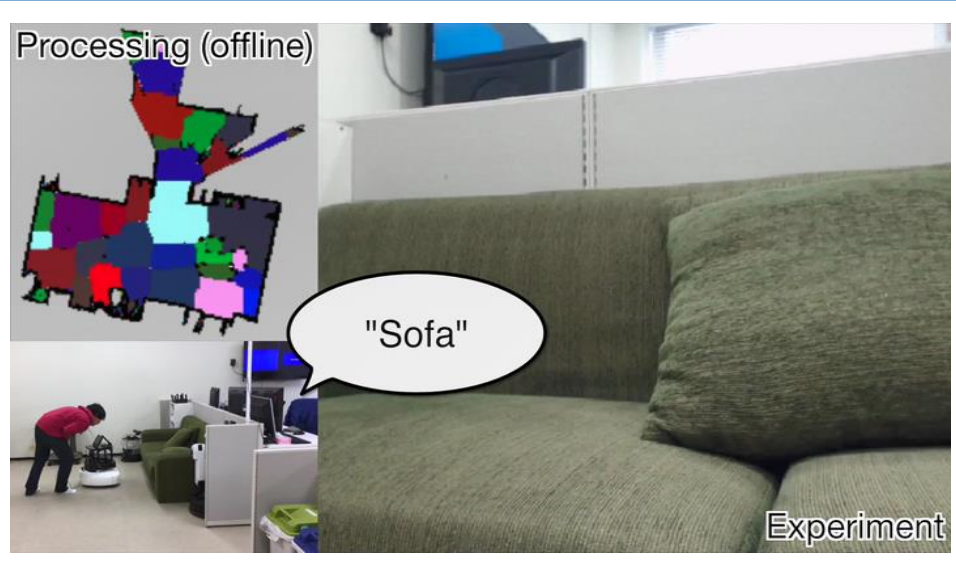
■ 場所概念形成の確率的生成モデルにおいて、パーティクルフィルタよる オンライン学習と情報利得(Information Gain; IG) 最大化に基づく能動 的な探索を組み合わせた能動学習手法 SpCoAE を提案



創発システム研究室での取り組み:事例紹介



場所概念に基づく曖昧な命令からの推論



場所概念に基づくセマンティックマッピング



三つの異なる場所概念が できたことが分かる



ロボットの内部知識の可視化

場所概念の学習と他の環境への転移

BRAとしての確率的生成モデル (PGM) 構築のための変換方法

全脳確率的生成モデル(WB-PGM)

Whole brain Probabilistic Generative Model

• PGMによる全脳アーキテクチャ構成のためのパースペクティブ 論文 [Taniguchi et. al., 2021]

目的

- 汎用人工知能(AGI)の実現
- 人の脳に学び、脳を模した認知アーキテクチャの構築
- 確率的生成モデルを用いた統合的認知システムの構築

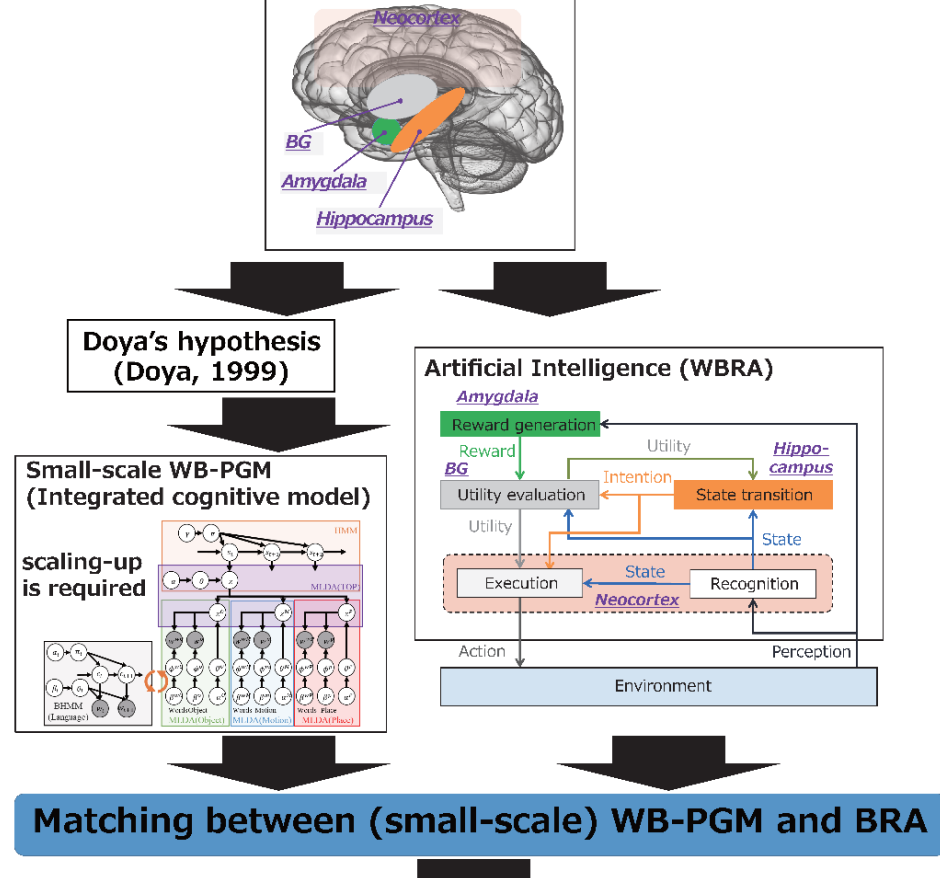
Research Question

- どのような認知モジュールを実装するべきか?
- それらをどのように統合させ連携されればよいか?
- 以下の2つのアプローチを組み合わせることで、 これらの疑問に答える。
 - **1. 脳にインスパイアされたAI**:人間レベルの知能を創り出すために、 人間の脳アーキテクチャから学ぶこと
 - 2. **PGMベースの認知システム**:発達ロボティクスにおける構成論的 アプローチとしてPGMを統合した統合的認知システムを開発すること

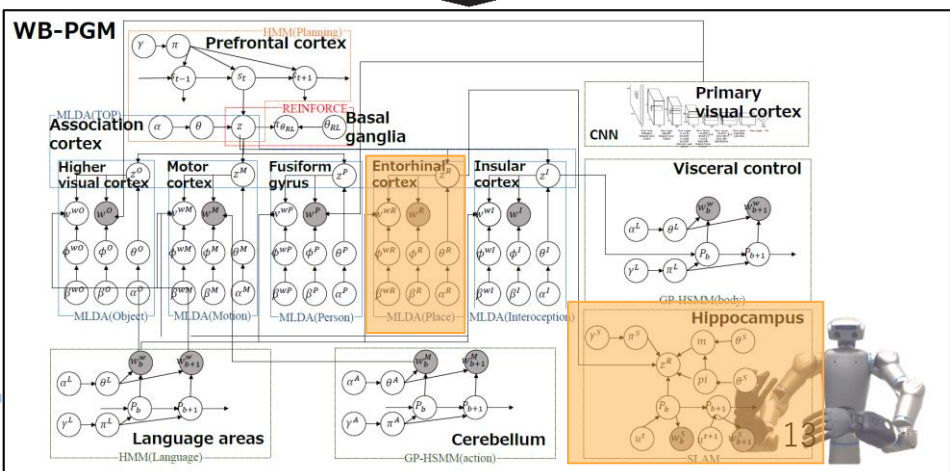


今回の講演内容は、ここからのスピンオフ

Taniguchi, T., Yamakawa, H., Nagai, T., Doya, K., Sakagami, M., Suzuki, M., Nakamura, T., & <u>Taniguchi, A</u>. (2021). Whole brain Probabilistic Generative Model toward Realizing Cognitive Architecture for Developmental Robots. In *arXiv* [cs.AI]. http://arxiv.org/abs/2103.08183 (Neural Networks誌 査読中)



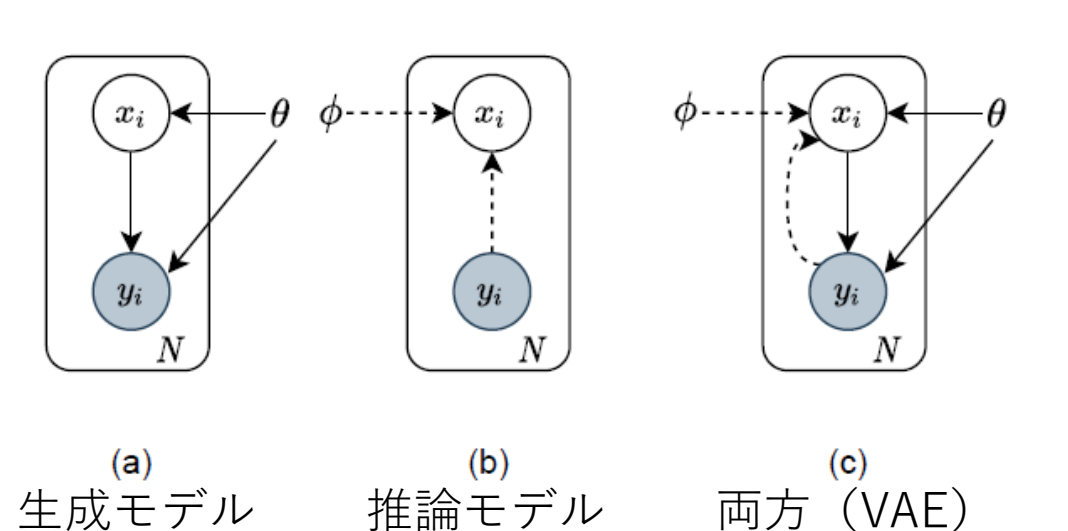
Brain

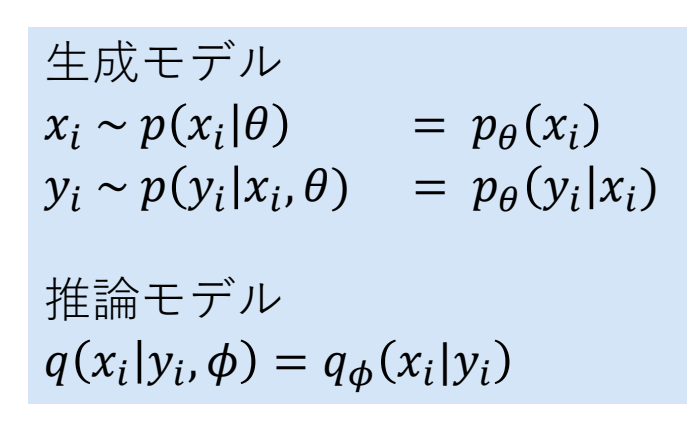


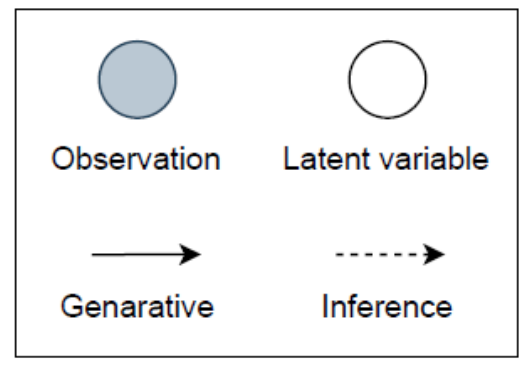
確率的生成モデルとは?

Probabilistic generative model (PGM)

- データが生成される過程をモデル化したもの
- 確率分布を仮定することでデータの統計的な性質をとらえる
- グラフィカルモデルによってモデル構造を可視化できる
- グラフィカルモデル
 - 変数間の依存関係をグラフ構造で表現
 - ノード:確率変数
 - エッジ:依存関係

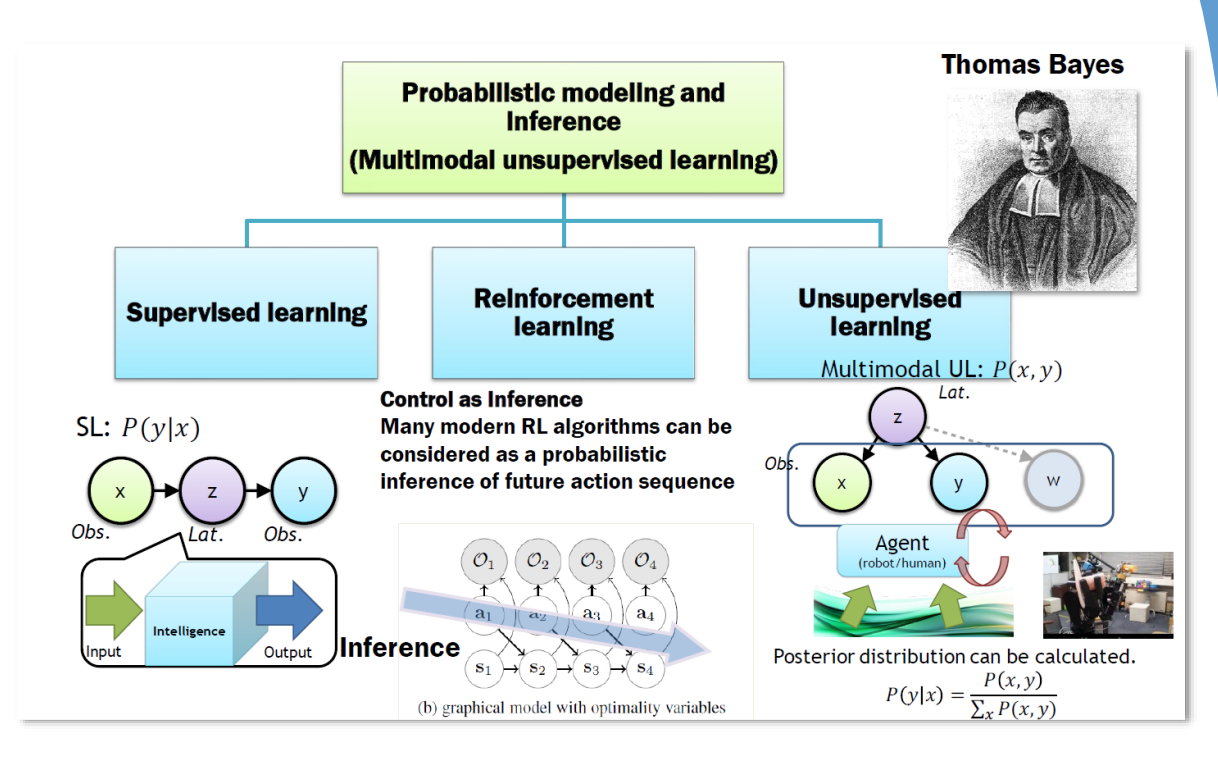






なぜ確率的生成モデル?

- グラフィカルモデルによって構造を容易 に可視化できる
- PGM同士を統合しやすい (Neuro-SERKETフレームワーク [Taniguchi 2020])
 - ➤ 全脳PGM へ
- 教師あり学習、教師なし学習、強化学習 をすべてPGMの上で議論できる
- 神経科学分野などでも議論・理論構築されている
 - ベイズ脳仮説 [Doya 2007]
 - 自由エネルギー原理/予測符号化仮説 [Friston 2012]
 - 世界モデル (World model)

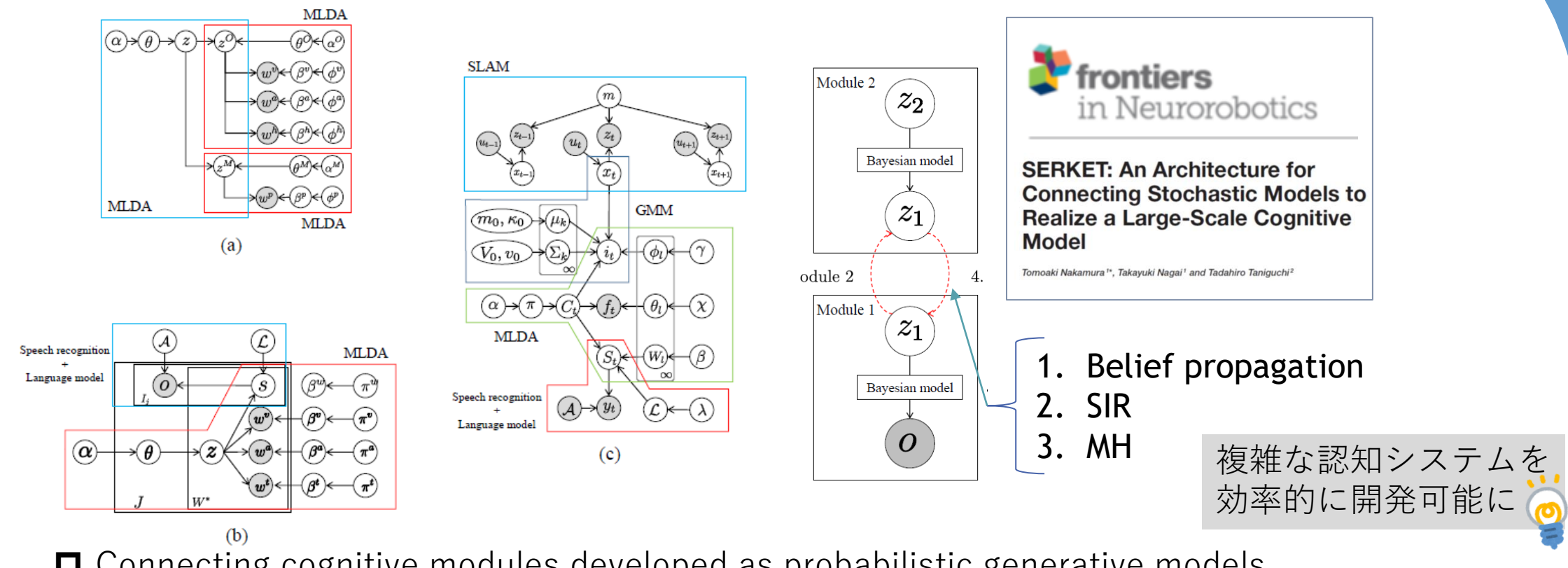


↑谷口忠大先生スライドより

[Taniguchi 2020] Tadahiro Taniguchi, Tomoaki Nakamura, Masahiro Suzuki, Ryo Kuniyasu, Kaede Hayashi, Akira Taniguchi, Takato Horii, and Takayuki Nagai, "Neuro-SERKET: Development of Integrative Cognitive System through the Composition of Deep Probabilistic Generative Models", New Generation Computing, Jan. 2020.

[Doya 2007] Doya, K., Ishii, S., Pouget, A., Rao, R.P.N., Bayesian Brain: Probabilistic Approaches to Neural Coding. MIT Press. 2007. [Friston 2012] Friston, Karl, and Ping Ao. "Free energy, value, and attractors." Computational and mathematical methods in medicine 2012.

Neuro-SERKET: Development of Integrative Cognitive System Through the Composition of Deep Probabilistic Generative Models [Taniguchi+ 20]

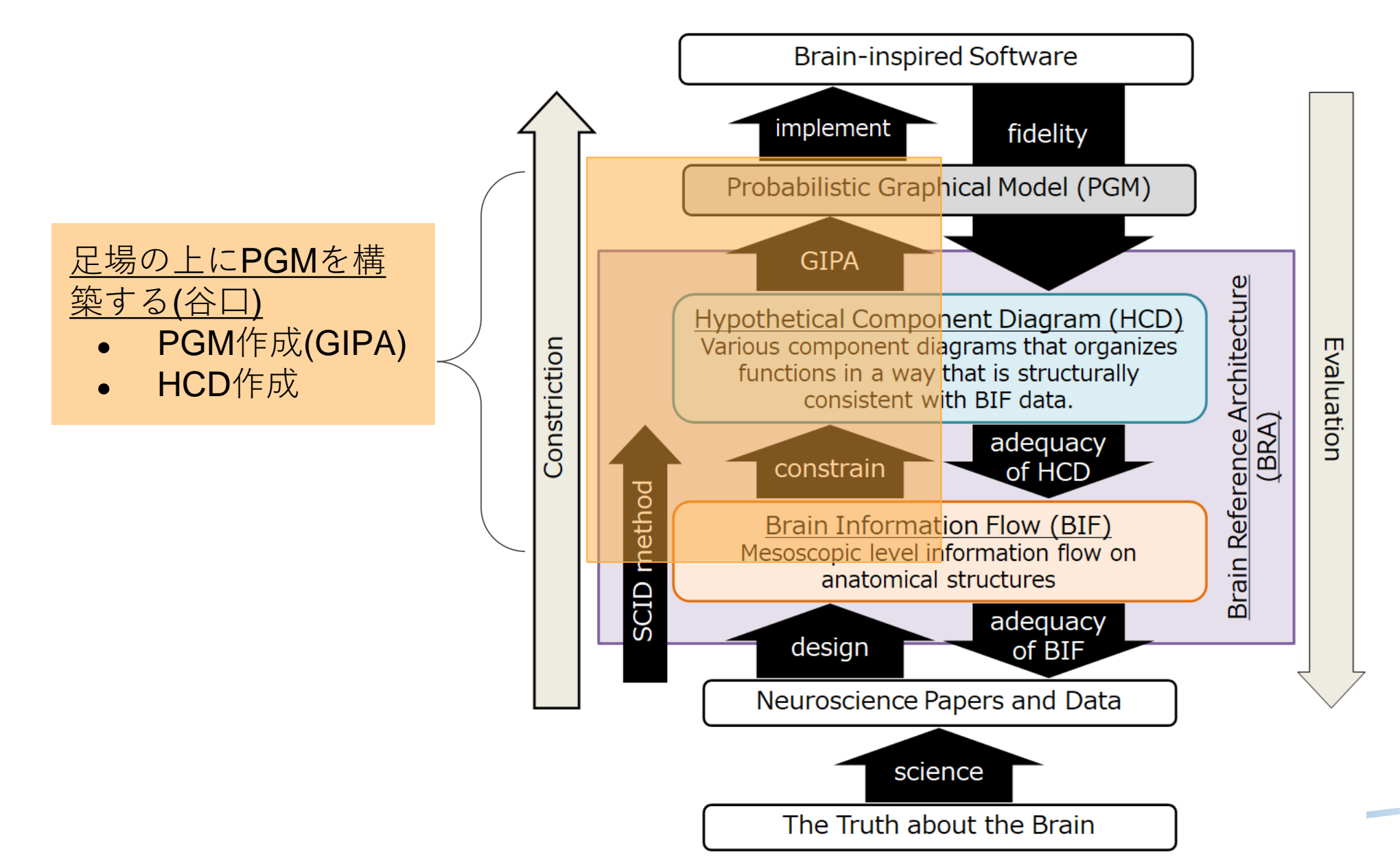


- □ Connecting cognitive modules developed as probabilistic generative models and letting them work together as a single unsupervised learning system.
- Having inter-module communication of probabilistic information and guaranteeing theoretical consistency to some extent.
- Neuro-SERKET supports deep generative models, i.e., VAE, as well.

Nakamura T, Nagai T and Taniguchi T, SERKET: An Architecture for Connecting Stochastic Models to Realize a Large-Scale Cognitive Model. Front. Neurorobot. 12:25. (2018) doi: 10.3389/fnbot.2018.00025

Taniguchi, T., Nakamura, T., Suzuki, M. et al. Neuro-SERKET: Development of Integrative Cognitive System Through the Composition of Deep Probabilistic Generative Models. New Gener. Comput. 38, 23–48 (2020). https://doi.org/10.1007/s00354-019-00084-w

本レクチャーの全体構成

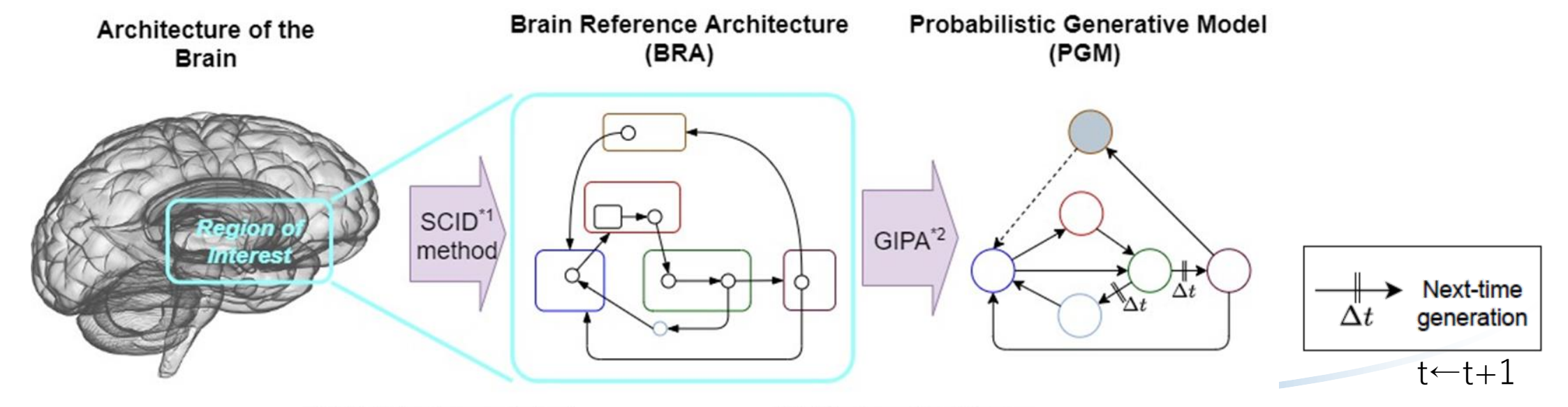


GIPA: Generation-inference process allocation

- 脳部位の解剖学的構造を生成モデルの変数の依存関係へ 変換
- PGMの制約
 - Directed acyclic graphsである必要性(ループを作れない)
- 基本的なGIPAの手順
 - 1. エッジを**生成モデルと推論モデルに分ける** (Table 1を主な 基準とする)
 - 2. 次時刻生成 (Δt) の表現を導入する

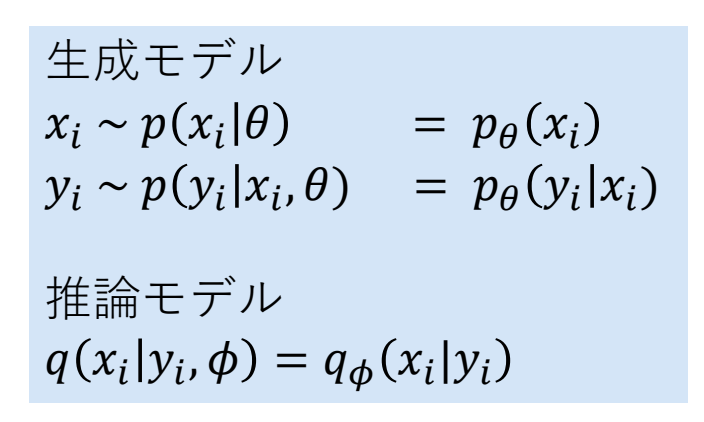
Table 1:	Table 1: Counter stream pathways in neocortex						
Pathways	Feedforward	Feedback					
Direction	From the outside	From the internal					
	world to the internal	state to the outside					
	state (from lower to	world (from higher to					
	higher area)	lower area)					
Laminar on cortical	Layer 3, and Layer 4	Layer 2					
microcircuits (Markov							
et al., 2014, 2013)							
Meaning of signals	Observation	Prediction					
(Yamakawa, 2020)							
Graphical model rep-	inference process	generative process					
resentation of PGM							

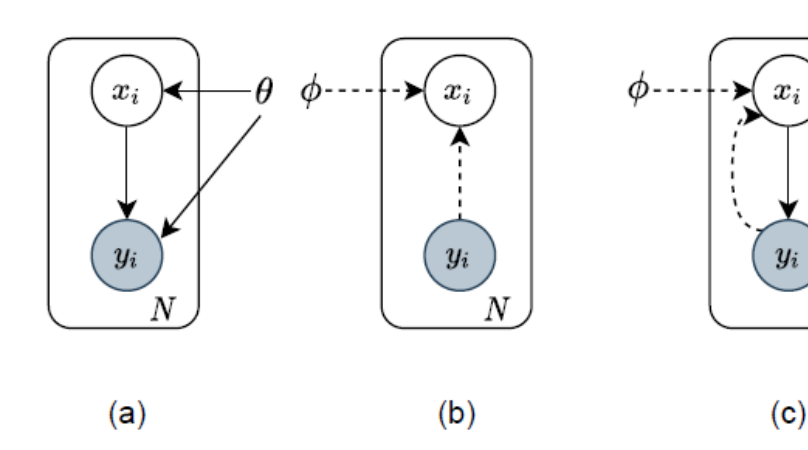
WB-PGM論文より

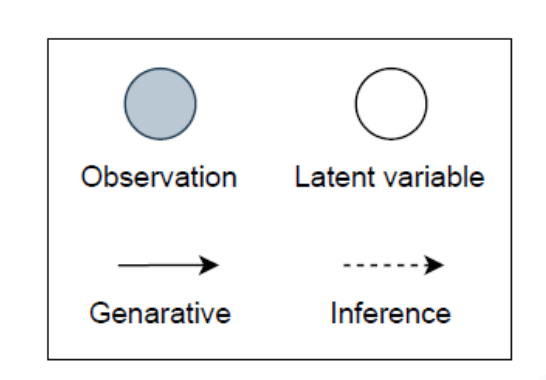


GIPA: Generation-inference process allocation

- 1. エッジを生成モデルと推論モデルに分ける (数理・理論として)
 - Amortized (variational) inference
 - 生成モデルとは別に推論モデルの接続構造を定義できる
 - 推論モデルをNeural networkなどの関数で近似
 - Auto-Encoding Variational Bayes (AEVB)
 - Variational Auto-Encoder (VAE)が代表的







Kingma, D. P., &Welling, M. (2014). Stochastic gradient VB and the variational auto-encoder. In Second International Conference on Learning Representations, ICLR.

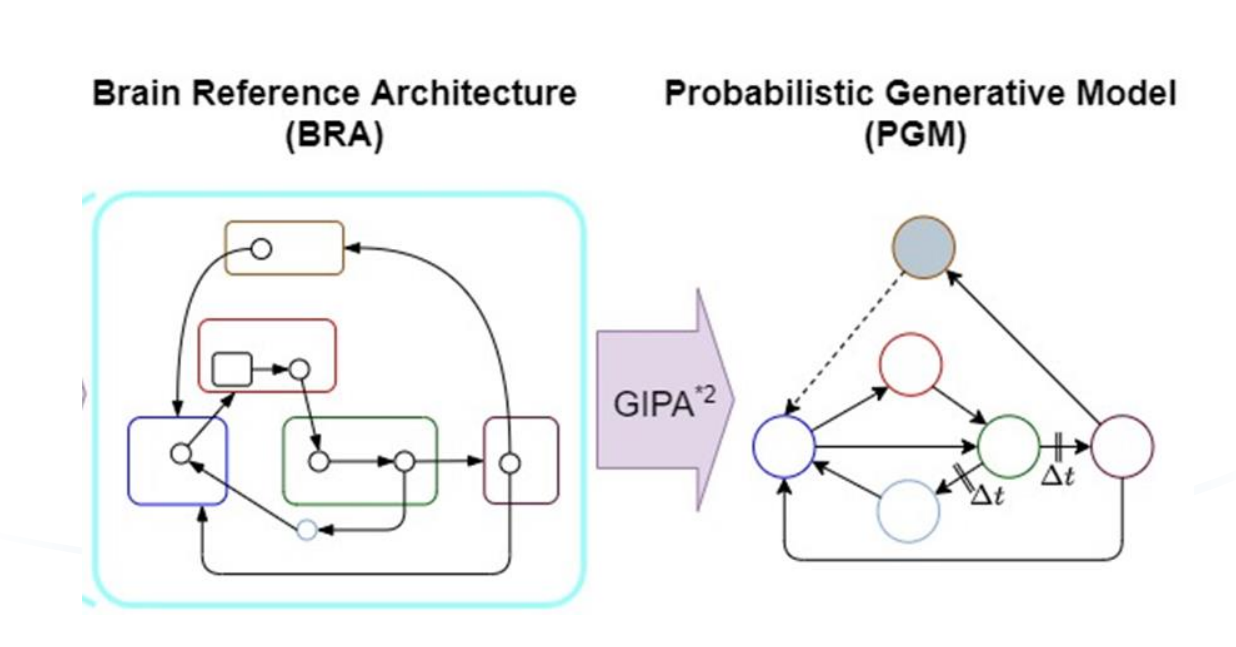
Murphy, K. P. (2012). Machine learning: a probabilistic perspective. Cambridge, MA: MIT Press.

GIPA: Generation-inference process allocation

- 2. 次時刻生成(△t)の表現を導入する
 - 問題: ∆tを (ループの中の) どこにどう導入するか
 - 決め方
 - ∆tの時間幅がどのくらいの周期なのか(ループの周期)を考えつつ決める
 - 解剖学的・神経科学的な知見から、過去や未来に関する情報をコーディングしている ノードがあれば、それを参考に決める
 - 解剖学的・神経科学的な知見から、時間遅れが発生すると思われるノードがあれば、それを参考に決める

- 制約

- 時間展開した時に一意にPGMが 決まるようにする
- Δtが複数ある場合、時刻の同期が 取れるようにする
- 1ループに対して基本的には 一つの Δ tが割り当たる



Hippocampal formation-inspired probabilistic generative model

HF-PGM:海馬体の確率的生成モデル

Akira Taniguchi, Ayako Fukawa, Hiroshi Yamakawa, "Hippocampal formation-inspired probabilistic generative model", Neural Networks, Vol.151, No. July, pp.317-335, 2022. DOI: 10.1016/j.neunet.2022.04.001

https://www.sciencedirect.com/science/article/pii/S0893608022001332

なぜ海馬体なのか

海馬体:脊椎動物の記憶を司る脳部位

空間学習や空間探索といった空間記憶に深く関わる







脳型の汎用人工知能の構築に 不可欠の構成要素 海馬体に関する 数多くの神経科学知見が 蓄積されている

あたりをつける:海馬体の神経科学的知見





海馬体

脊椎動物の記憶を司る脳部位.空間学習や空間探索といった空間記憶に深く関わる認知的処理を担うコア領域 脳型の汎用人工知能の構築に不可欠の構成要素.海馬体に関する数多くの神経科学知見が蓄積されている

ナビゲーション

動物が空間内で環境情報を取得しながら適切な経路を選択して目的 地に到達する行動

認知地図

• "動物は環境の空間的位置関係についての地図を探索によって形成し、この地図を利用して行動している"という考え

自己位置推定

• ナビゲーションの実行や認知地図の形成の前提として,常に動物が現在の位置を認識する能力

経路統合(path integration: PI)

• 自己の運動情報などの移動情報を統合して自己位置を計算する機能

自己位置推定のための方法の一つ

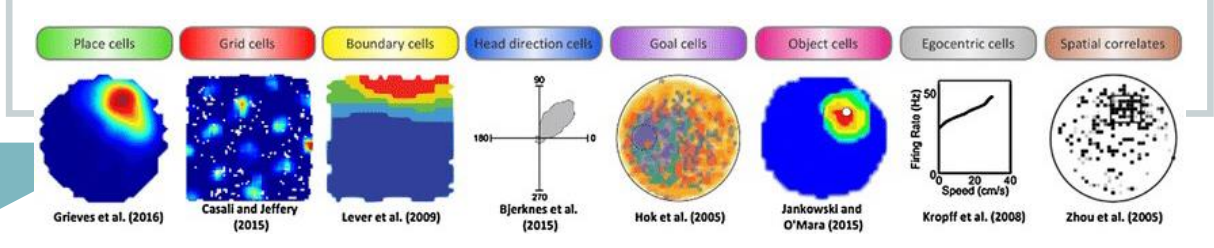
■場所細胞(Place cells):環境の特定の場所にいるときに発火する げっ歯類の海馬で発見された

■格子細胞(Grid cells):場所細胞と同様に動物が環境の特定の場所にいるときに発火する

げっ歯類の内側嗅内皮質(medial entorhinal cortex: MEC)で発見された

経路統合の実行に関わるとされている

- ■頭方位細胞(Head-direction cells):場所に関係なく頭が特定の方向に向いているときにだけ活動する
- ■スピード細胞(Speed cells):個体の移動速度に依存した活動を示す



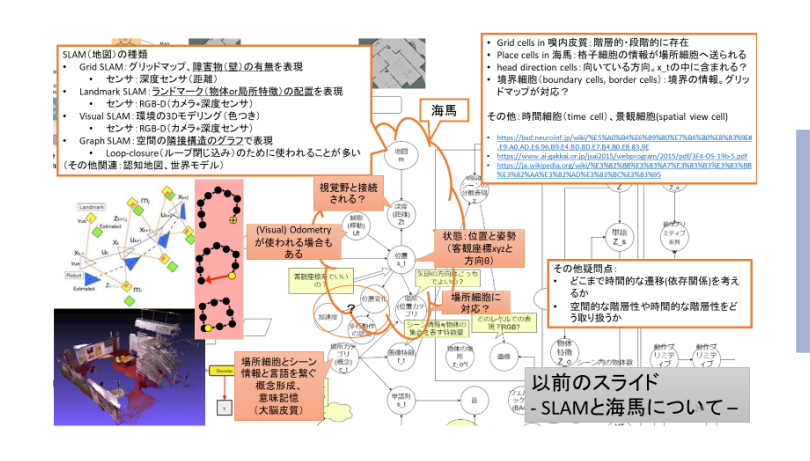
引用元:

https://cbs.riken.jp/jp/public/tsunagaru/fujisawa/02/

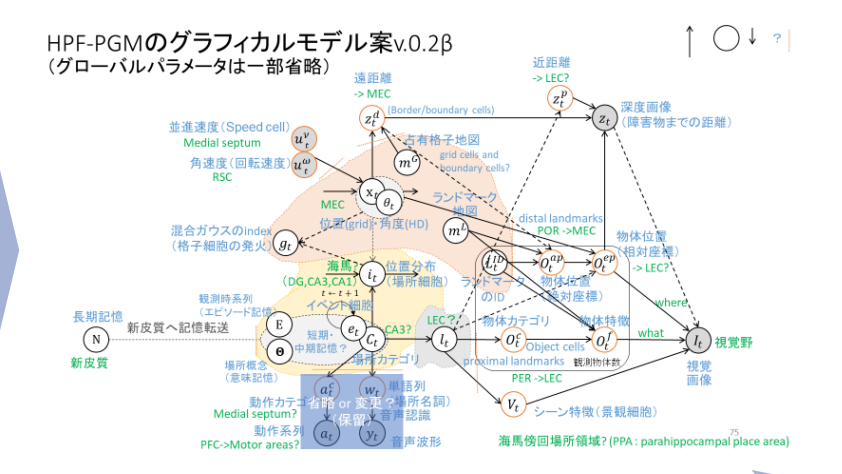
哺乳類においては海馬体がナビゲーションや認知地図の形成等に重要な役割を果たしていると考えられている 場所細胞・格子細胞が空間的な認知処理機能の実行に関わるとされている

構築の経緯:モデル

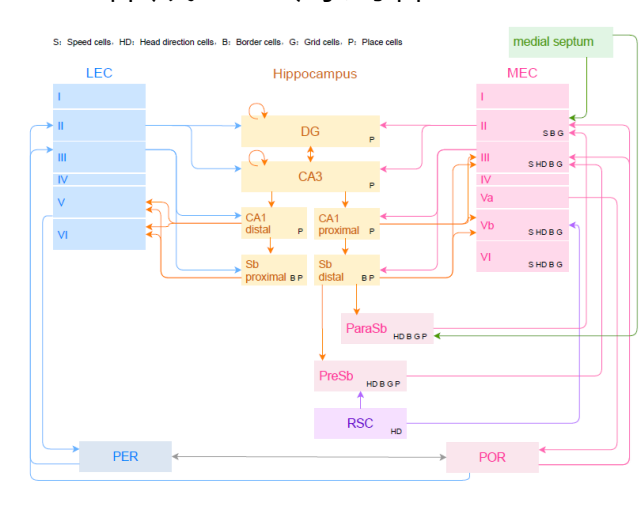
WB-PGMの議論での初期案と疑問提示



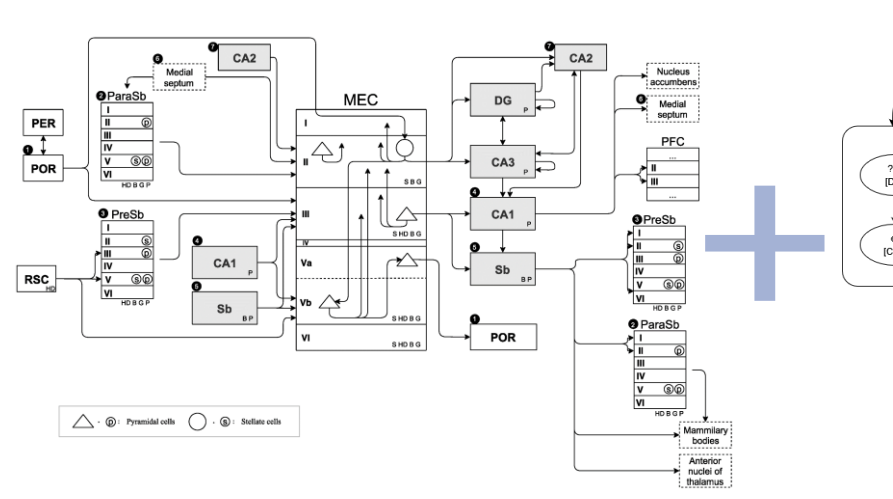
SpCoSLAMのPGMを分解・拡張



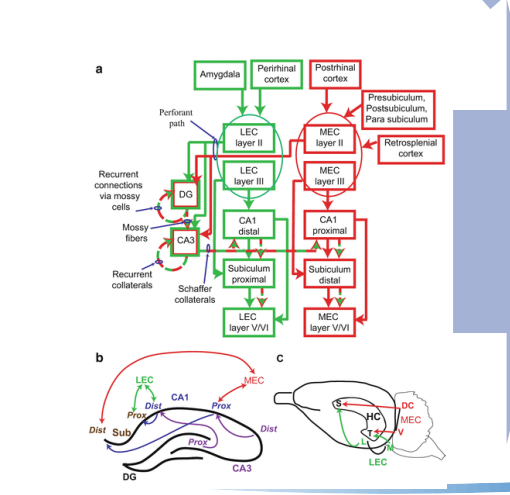
作成した海馬体のBIF



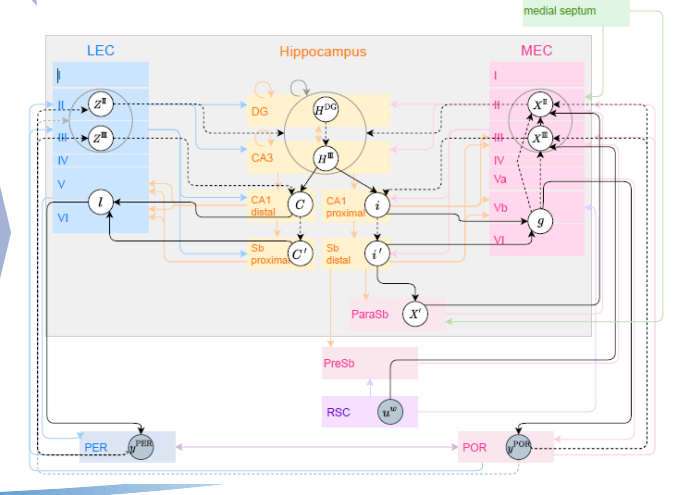
海馬体のBIF [Fukawa et al., 2020]



LECとMECの解剖学的構造(右)と 対応付けたPGM案(左)



BIF上に変数を配置したHF-PGM



Fukawa, A., Aizawa, T., Yamakawa, H., & Yairi, I. E. (2020). Identifying core regions for path integration on medial entorhinal cortex of hippocampal formation. Brain Sciences, 10.

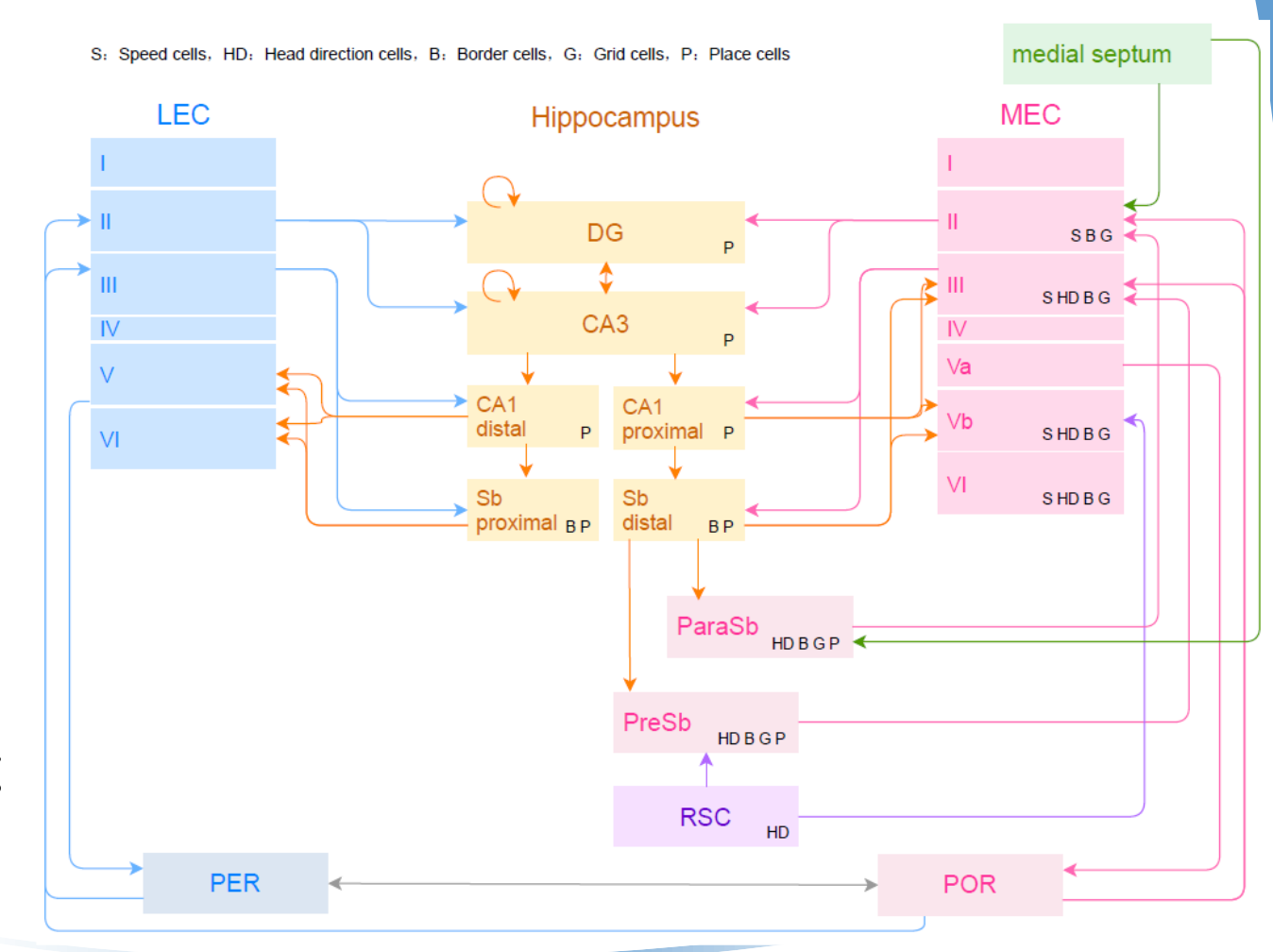
[MEC II]

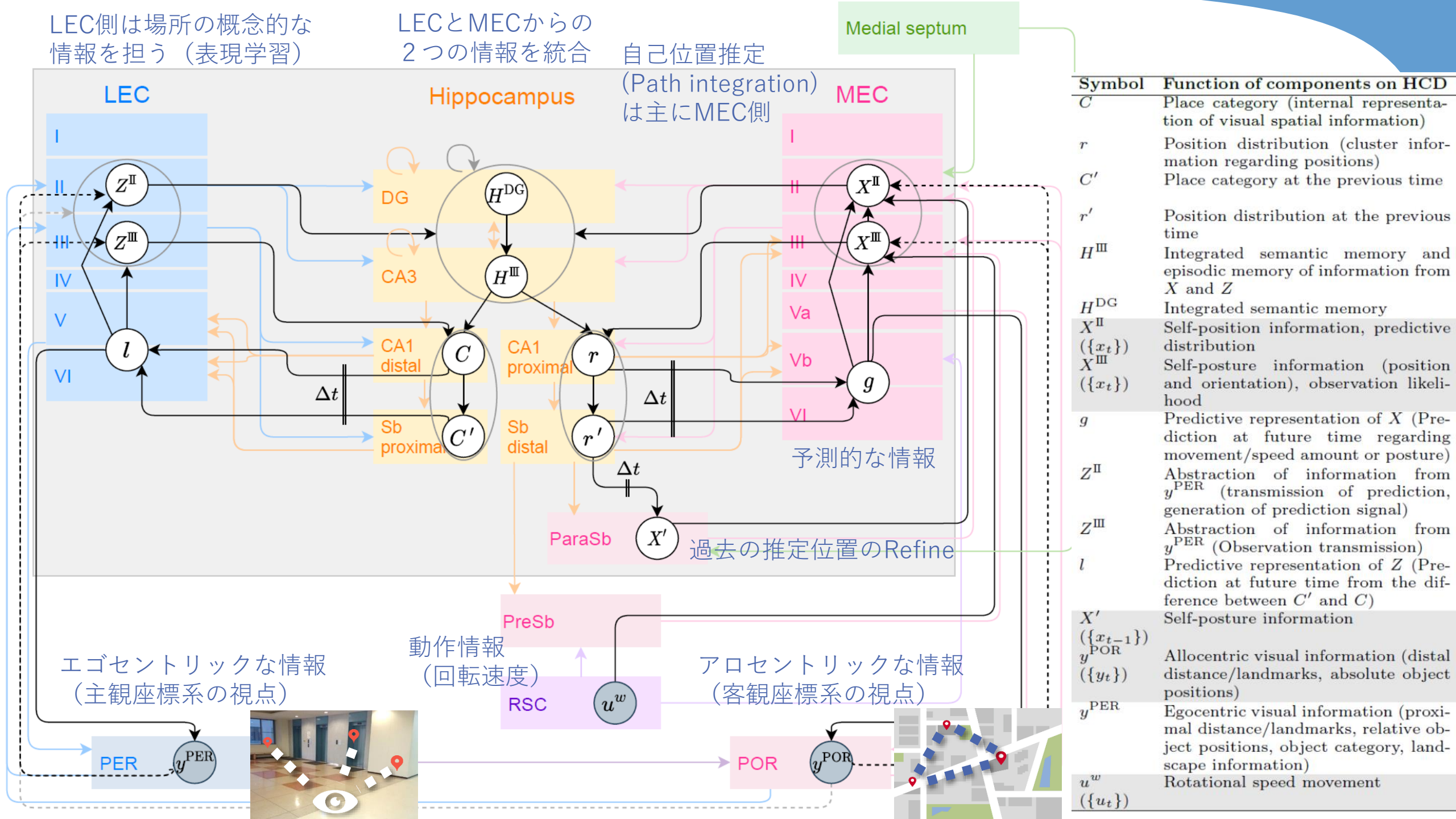
[LEC II]

Region-of-interest, input/output, and top-level function

- Region-of-interest
 - LEC, MEC, CA1, CA3, DG, Sb, ParaSb
 - ROIに隣接する領域: PreSb, POR, PER, RSC
- Input/output
 - Input: POR, PER, and RSC
 - Output: the predicted values of POR and PER at the next time step
- Top-level function
 - (i) Self-localization (path integration and observational correction)
 - (ii) Place categorization by integrating allocentric and egocentric information

脳情報フロー (Brain Information Flow: BIF)



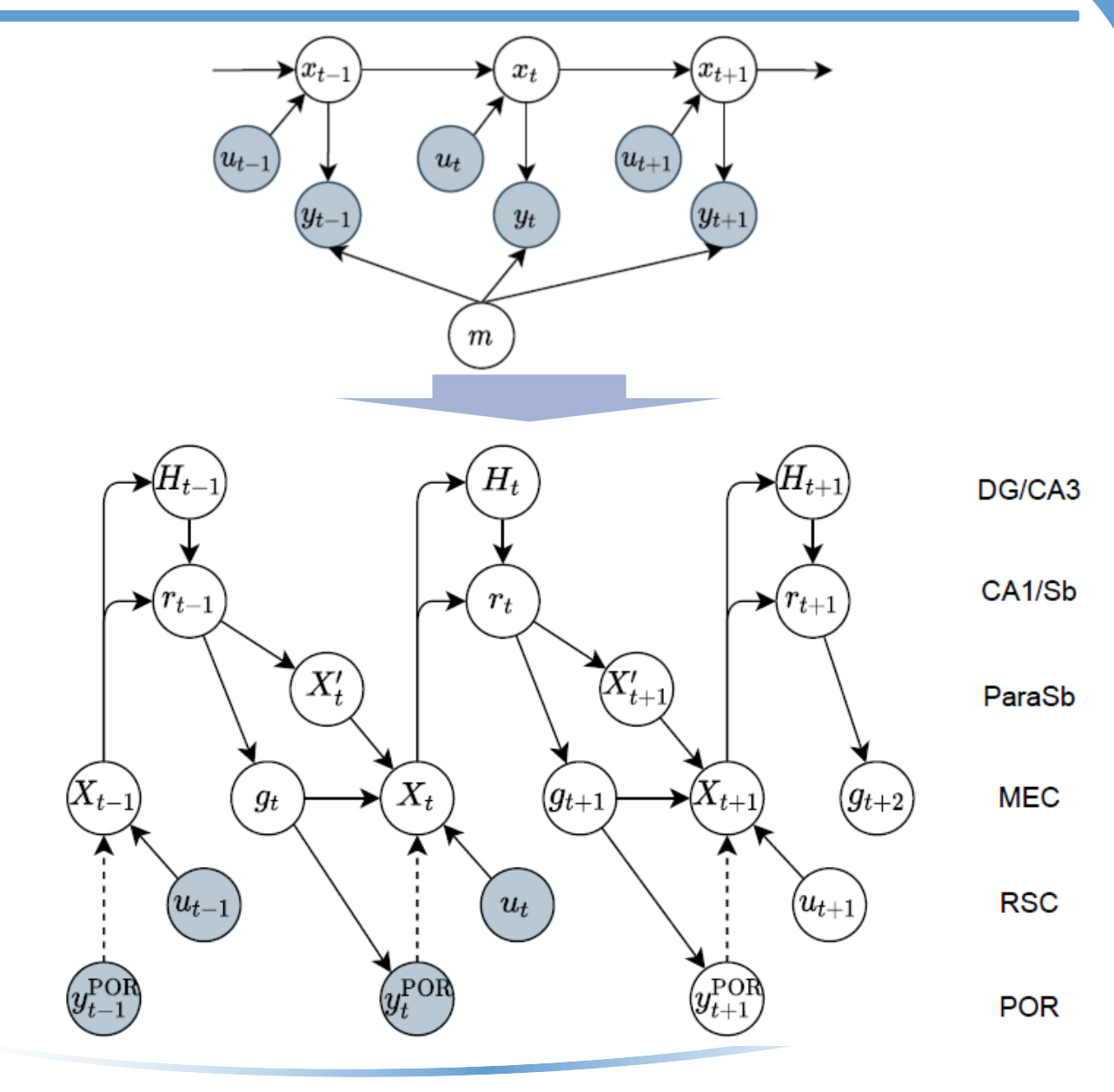


時間遷移のグラフィカルモデル (MEC側のみ)

- SLAMのPGMの拡張として表現される
- LEC側は省略している
- SLAMのPGMとの差異
 - 潜在変数が細かく段階的に分けられている
 - 時間差分情報を保持・利用
 - 次時刻の観測の予測値を生成する
 - Predictive coding

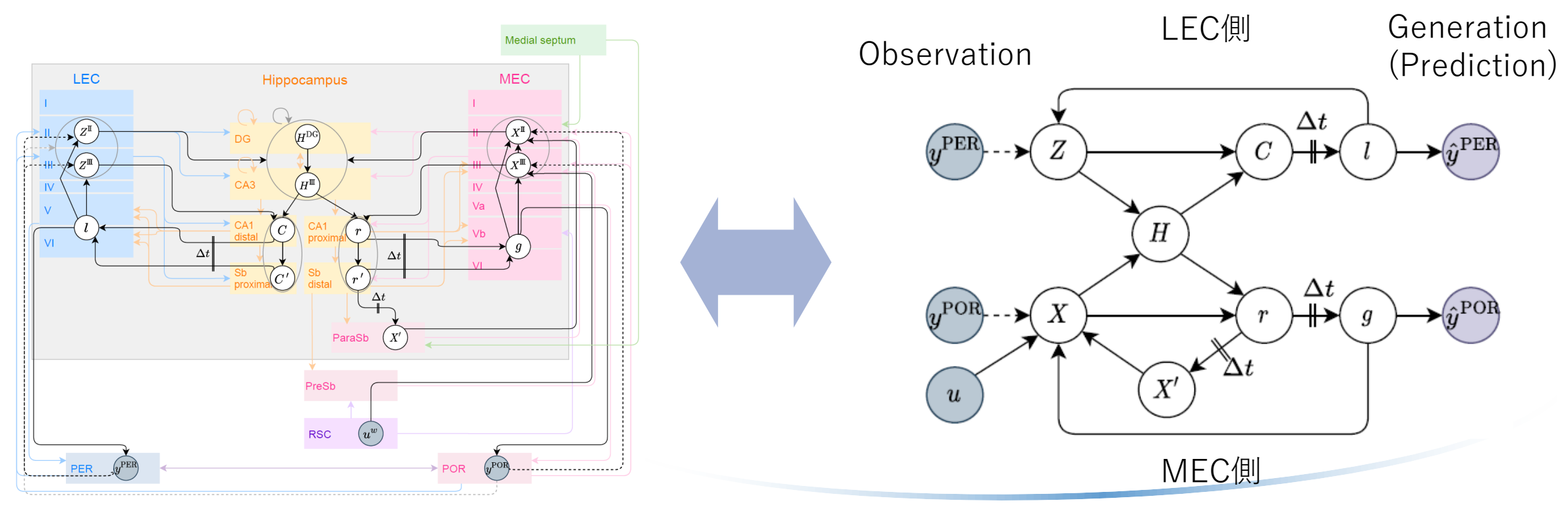
Variables

- X_t : Self-position
- X'_t: Predicted self-position
- r_t : Cluster information regarding positions
- H_t : Integrated higher-level internal
- representation
- g_t : Prediction at future time regarding
- movement/speed amount or posture
- y_t : Input/output variables
- $-u_t$: Rotational speed movement

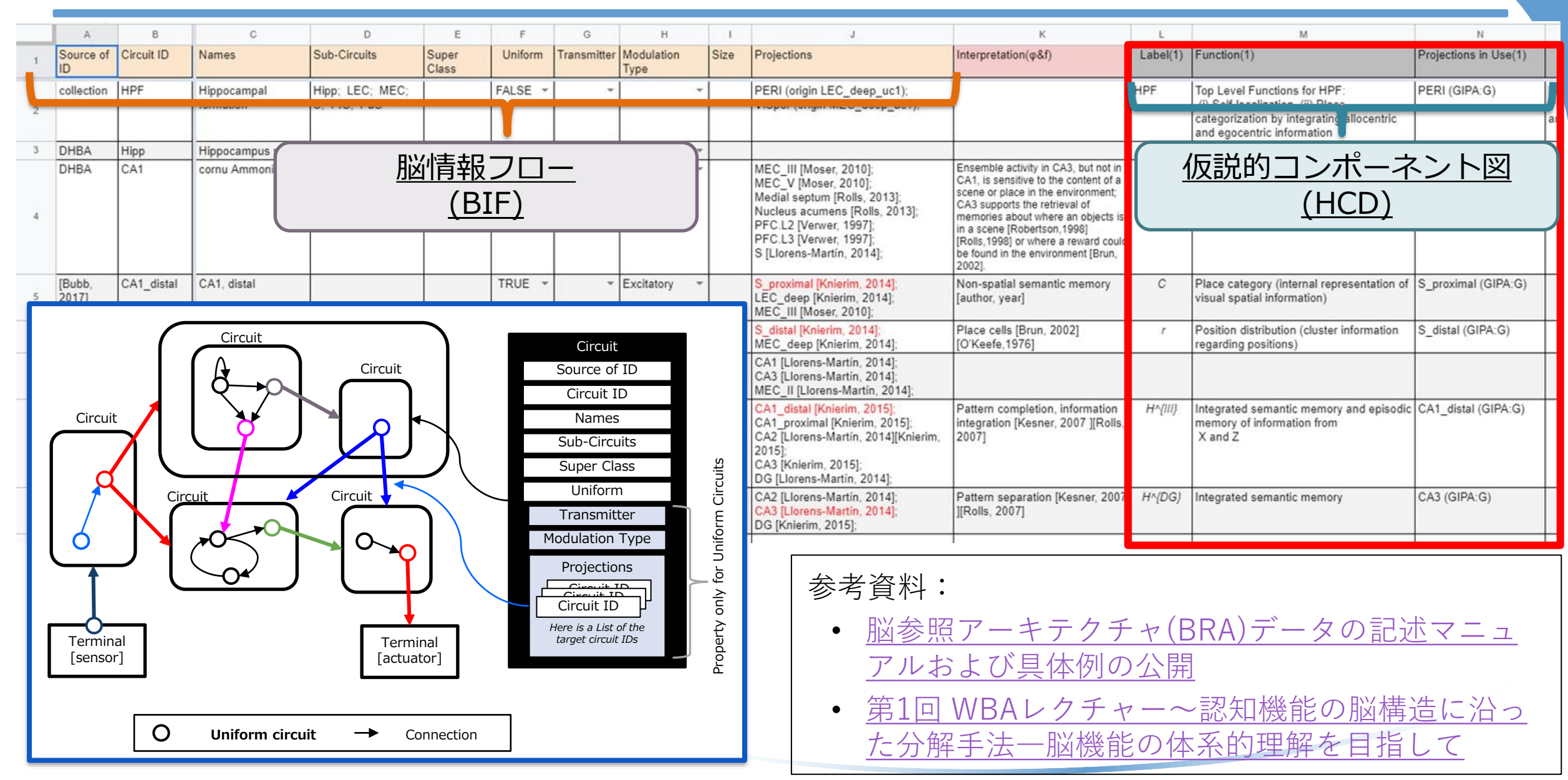


Encoder-decoder表現のグラフィカルモデル

- リカレント構造付きのマルチモーダルEncoder-decoderモデルの拡張形として表せる
 - 観測値と予測値を分けて表現



海馬体のBRA形式データ(<u>HF.bra</u>)



海馬体のHCD形式データ(AT20HippocampalFormation.hcd)

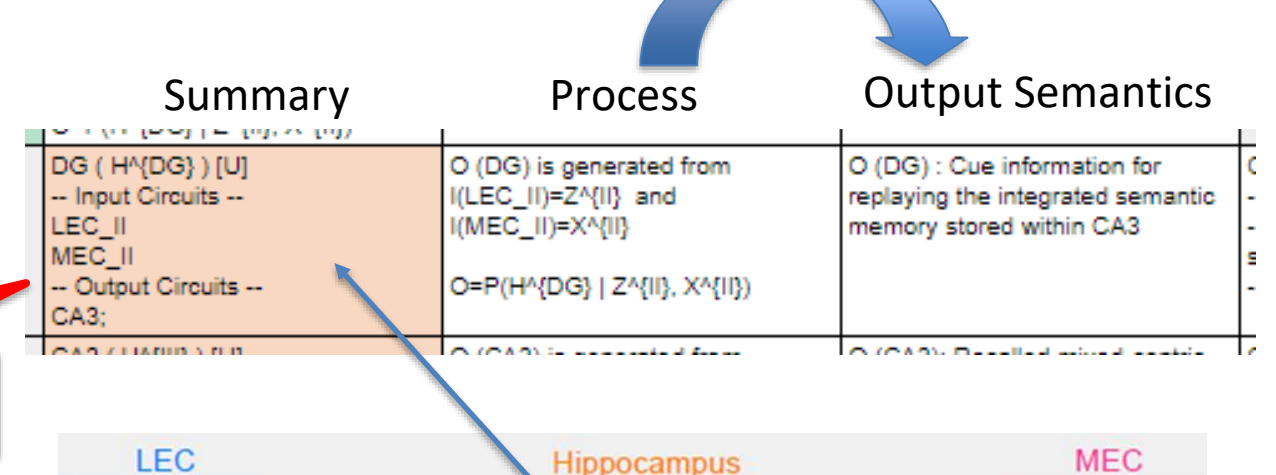
			- ,														
AB	AC	AD	AE	AF	AG	АН	AI	AJ	AK	AL	AM	AN	AO	AP	AQ	AR	AS
t I Circuit ID 🔻	Label (1)	Output Circuits (1)	Output Circuit Validation (1)	Input Circuit (1)	Circuit Summary (1)	Region Category (1)	Process(1)	Output Semantics (1)	Comments (1)	FTV depth (1)	FTV line (1)	Confirmor (1)	Output Semantics Generativity (1)	Process Synthesizab ility (1)	Confirmed date (1)	Confirmation comments (1)	Confirmation Summary (1)
Hipp ▼	Hipp			-	Hipp (Hipp) Input Circuits Output Circuits	inROI →	(Composed by sub-process)	Recalled integrated semantic information		1		Yuta Ashihara	Probably ygeneratable [W]	Synthesiza + ble	2022/9/18		Confirmation Summary: - Output Semantics is Probably generatable [W] - Process is Synthesizable - Comment:
A DG+CA3 ▼	H^{DG}			-	DG+CA3 (H^{DG}) Input Circuits Output Circuits	inROI →	O (DG+CA3) is generated from I(LEC_II)=Z^{II} and I(MEC_II)=X^{II} O=P(H^{DG} Z^{II}, X^{II})	O (DG+CA3): Recalled mixed-centric integrated semantic information		2	11	Yuta Ashihara	Generatable +	Synthesiza + ble	2022/9/19		Confirmation Summary: - Output Semantics is Generatable - Process is Synthesizable - Comment:
DG •	H^{DG}	CA3;	-		DG (H^{DG}) [U] Input Circuits LEC_II MEC_II MEC_UI CA3:	inROI →	O (DG) is generated from I(LEC_II)=Z^{II} and I(MEC_II)=X^{II} O=P(H^{DG} Z^{II}, X^{II})	O (DG): Cue information for replaying the integrated semantic memory stored within CA3	(GIPA:G)	3	12	Yuta Ashihara	Generatable +	Leaf v process w/o synthesis	2022/9/20		Confirmation Summary: - Output Semantics is Generatable - Process is Leaf process w/o synthesis - Comment :
CA3 -	H^{III}	CA1_distal; CA1_proximal;	-	LEC_II MEC_II	CA3 (H^{III}) [U] Input Circuits DG LEC_II MEC_II Output Circuits CA1_distal; CA1_proximal;	inROI 🔻	O (CA3) is generated from $\begin{split} & (DG)=H^{\prime}(DG),\; (LEC_{ })=Z^{\prime}\{ \}\;\;\text{and}\;\; (MEC_{ })=X^{\prime}\{ \}\;\;\\ &O=P(H^{\prime}\{DG\}\mid H^{\prime}\{DG\},\;,Z^{\prime}\{ \},\;X^{\prime}\{ \}) \end{split}$	O (CA3): Recalled mixed-centric integrated semantic information	(GIPA:G)	3	13	Yuta Ashihara	Generatable w	Leaf v process w/o synthesis	2022/9/21		Confirmation Summary: - Output Semantics is Generatable - Process is Leaf process w/o synthesis - Comment:
Hipp for LEC				-	Hipp for LEC () Input Circuits Output Circuits	inROI →	(Composed by sub-process)	Recalled egocentric integrated semantic information (including place-category-related information and visual spatial information))	(GIPA:G)	2		Yuta Ashihara	Generatable +	Synthesiza + ble	2022/9/22		Confirmation Summary: - Output Semantics is Generatable - Process is Synthesizable - Comment:
i CA1_distal ▼	С	S_proximal; LEC_deep_uc1;	- ×	CA3 LEC_III	CA1_distal (C) [U] Input Circuits CA3 LEC_III Output Circuits S_proximal; LEC_deep_uo1;	inROI +	O(CA1_distal) is generated from I(CA3) and I(LEC_III)	O(CA1_distal): Extracted egocentric components of integrated semantic information	(GIPA:G-Δt)	3	15	Yuta Ashihara	Generatable w	Leaf process w/o synthesis	2022/9/23		Confirmation Summary: - Output Semantics is Generatable - Process is Leaf process w/o synthesis - Comment:
ki S_proxima ▼	Ċ	LEC_deep_uc1;	×	CA1_distal	S_proximal (C') [U] Input Circuits CA1_distal Output Circuits LEC_deep_uc1;	inROI →	O(S_proximal) is generated from I(CA1_distal)	Stored egocentric components of integrated semantic information (previous time)	(GIPA:G)	3	16	Yuta Ashihara	Generatable +	Leaf w process w/o synthesis	2022/9/24		Confirmation Summary: - Output Semantics is Generatable - Process is Leaf process w/o synthesis - Comment :
Hipp for MEC				-	Hipp for MEC () Input Circuits Output Circuits		(Composed by sub-process)	Recalled allocentric integrated semantic information (including position-distribution-related information, self-posture information and cluster information regarding positions)		2		Yuta Ashihara	Generatable +	Synthesiza + ble	2022/9/25		Confirmation Summary: - Output Semantics is Generatable - Process is Synthesizable - Comment:
014				010	014 17 188	i-not			(0)04-01	2	40	M.4-	Commentable	1	2022/0126	I	Confirmation Commence



HCDの機能特性:出力セマンティクス生成性

	• D	E	F	G	Н	I I	J	К
1	Region Category	Depth = 0	Depth = 1	Depth = 2	Depth = 3	Depth = 4	Depth = 5	Depth = 6
2	tput	A35 (y^{A35}) Input Circuits HIP LEC_deep_uc1 Output Circuits	(Undefined interface process)	Multimodal information related to egocentric self-state aggregated from the neocortex (e.g., proximal distance/landmarks, relative object positions, object category, landscape information)		-	-	-
3	Input/Ou tput	====>	A35_uc1 (y^{A35}) [U] Input Circuits Output Circuits LEC_II;	(Undefined interface process)	The prediction part of multimodal egocentric related information for providing to LEC II	Confirmation Summary: - Output Semantios is Generatable - Process is Leaf process w/o synthesis - Comment:	-	
4	Input/Ou tput	====>	A35_uc2 (y^{A35}) [U] Input Circuits Output Circuits LEC_III	(Undefined interface process)	The observation part of multimodal egocentric related information for providing to LEC III	Confirmation Summary: - Output Semantics is Generatable - Process is Leaf process w/o synthesis - Comment :	-	-
5	Input/Ou tput	VISpor (y^{POR}) Input Circuits HIP MEC_deep_uc1 Output Circuits	(Undefined interface process)	Multimodal information related to allocentric self-state aggregated from the neocortex (e.g., distal distance/landmarks, absolute object positions)	Confirmation Summary: - Output Semantics is Generatable - Process is Synthesizable - Comment :			
6	Input/Ou tput	====>	VISpor_uc1 (y^{POR}) [U] Input Circuits Output Circuits MEC_II;	(Undefined interface process)	The prediction part of multimodal allocentric related information for providing to MEC II	Confirmation Summary: - Output Semantics is Generatable - Process is Leaf process w/o synthesis - Comment:	-	-
7	Input/Ou tput	====>	VISpor_uc2 (y^{POR}) [U] Input Circuits Output Circuits MEC_III;	(Undefined interface process)	The observation part of multimodal allocentric related information for providing to MEC III	Confirmation Summary: - Output Semantics is Generatable - Process is Leaf process w/o synthesis - Comment:	-	-
8	Input	====>	RSC_uc1 (u^w) [U] Input Circuits Output Circuits MEC_III;	(Undefined interface process)	Self rotational speed information (related to head direction)	Confirmation Summary: - Output Semantics is Generatable - Process is Leaf process w/o synthesis - Comment :	-	-
9	ROI	HIP (HF) Input Circuits Output Circuits A35; VISpor;	(Composed by sub-process)	Top Level Functions for HF: (i) Self-localization, (ii) Place categorization by integrating allocentric and egocentric information	Confirmation Summary: - Output Semantics is Generatable - Process is Possibly synthesizable [W] - Comment: Output Semanticsの 実現性が不明である。	-	-	-
10	inROI	====>	Hipp (Hipp) Input Circuits Output Circuits	(Composed by sub-process)	Recalled integrated semantic information	Confirmation Summary: - Output Semantics is Probably generatable [W] - Process is Synthesizable - Comment:	-	-
11	inROI		====>	DG+CA3 (H^{DG}) Input Circuits Output Circuits	O (DG+CA3) is generated from I(LEC_II)=Z^{II} and I(MEC_II)=X^{II}	O (DG+CA3): Recalled mixed-centric integrated semantic information	Confirmation Summary: - Output Semantics is Generatable - Process is Synthesizable - Comment:	
12	inROI			====>	DG (H^{DG}) [U] Input Circuits LEC_II MEC_II Output Circuits CA3;	O (DG) is generated from I(LEC_II)=Z^{(II)} and I(MEC_II)=X^{(II)} O=P(H^{DG} Z^{(II)}, X^{(II)})	O (DG): Cue information for replaying the integrated semantic memory stored within CA3	Confirmation Summary: - Output Semantics is Generatable - Process is Leaf process w/o synthesis - Comment :
	inROI		-	>	CAR/ HARIDA II II	O (CA3) is apparated from	O (CA3): Recalled mixed contrin	Confirmation Summany
13					Input Circuits DG LEC_II MEC_II Output Circuits CA1_distal; CA1_proximal;	I(DG)=H^(DG), I(LEC_II)=Z^{(II)} and I(MEC_II)=X^{(II)} O=P(H^{DG} H^{DG}), ,Z^{(II)}, X^{(II)}	integrated semantic information	Output Semantics is Generatable Process is Leaf process w/o synthesis Comment:
14	inROI		====>	Hipp for LEC () Input Circuits Output Circuits	(Composed by sub-process)	Recalled egocentric integrated semantic information (including place-category-related information and visual spatial information))	Confirmation Summary: - Output Semantics is Generatable - Process is Synthesizable - Comment :	-
15	inROI		-	2222>	CA1_distal (C) [U] Input Circuits CA3 LEC_III Output Circuits S_proximal; LEC_dee_uc1;	O(CA1_distal) is generated from I(CA3) and I(LEC_III)	O(CA1_distal): Extracted egocentric components of integrated semantic information	Confirmation Summary: - Output Semantics is Generatable - Process is Leaf process w/o synthesis - Comment:
16	inROI			Hipp for MEC ()	S_proximal (C') [U] Input Circuits CA1_distal Output Circuits LEC_deep_uc1;	O(S_proximal) is generated from I(CA1_distal)	Stored egocentric components of integrated semantic information (previous time)	Confirmation Summary: - Output Semantics is Generatable - Process is Leaf process w/o synthesis - Comment :

出力セマンティクス生成性: このコンポーネントのOutput Semanticsが、指定された回路からの入力を使用するこのコンポーネントのProcessによって生成しうるか否かを評価



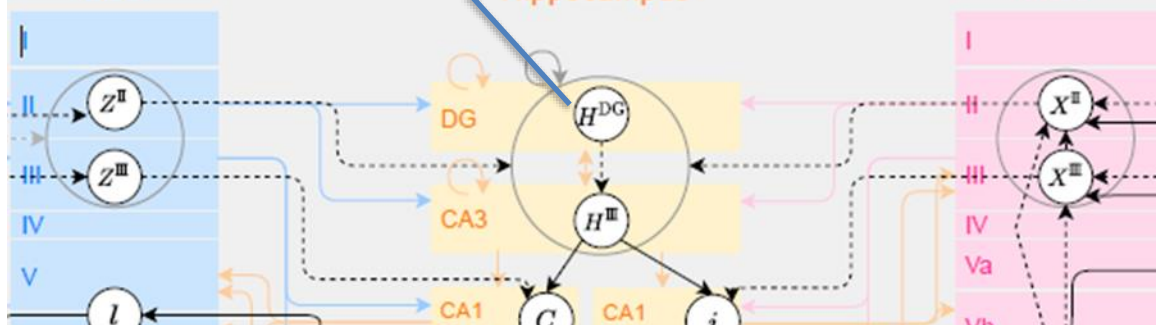
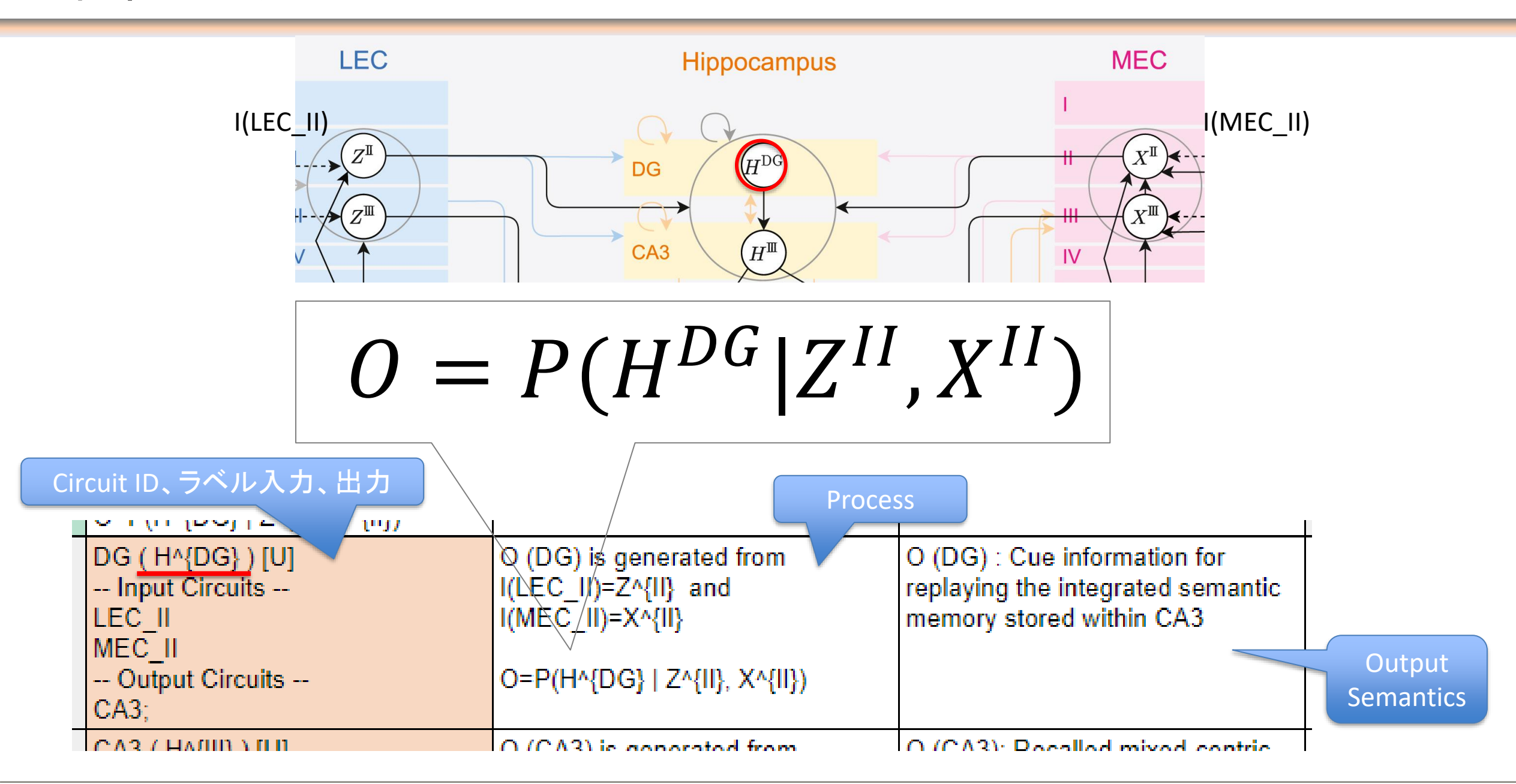


図: 海馬体のFunction Tree Viewerの一部



確率的生成モデルによるHCDにおけるプロセス記述



HCDの機能特性:プロセス合成性

Input	egion stegory put/Ou ut	E Depth = 0 A35 (y^[A35)) Input Circuits HP LEC_deep_uo1 - Output Circuits	F Depth = 1 (Undefined interface process)	G Depth = 2 Multimodal information related to egocentric self-state aggregated	H Depth = 3 Confirmation Summary:	Depth = 4	J Depth = 5	K Depth = 6
Input tout a linput tout a lin	put/Ou ut	A35 (y^{A35}) Input Circuits HIP LEC_deep_uc1 Output Circuits		Multimodal information related to egocentric self-state aggregated		Depth = 4	Depth = 5	Depth = 6
Input tput s	ut put/Ou	Input Circuits HIP LEC_deep_uc1 Output Circuits	(Undefined interface process)	egocentric self-state aggregated	Confirmation Summary:			
Input Input Input Input Input		====>		from the neocortex (e.g., proximal distance/landmarks, relative object positions, object category, landscape information)	Output Semantics is Generatable Process is Synthesizable Comment:			-
4 tput Input tput			A35_uc1 (y^{A35}) [U] Input Circuits Output Circuits LEC_II;	(Undefined interface process)	The prediction part of multimodal egocentric related information for providing to LEC II	Confirmation Summary: - Output Semantics is Generatable - Process is Leaf process w/o synthesis - Comment:		
s tput	put/Ou ut	====>	A35_uc2 (y^{A35}) [U] Input Circuits Output Circuits LEC_III	(Undefined interface process)	The observation part of multimodal egocentric related information for providing to LEC III	Confirmation Summary: - Output Semantics is Generatable - Process is Leaf process w/o synthesis - Comment:	-	
Inni		VISpor (y^{POR}) Input Circuits HIP MEC_deep_uc1 Output Circuits	(Undefined interface process)	Multimodal information related to allocentric self-state aggregated from the neocortex (e.g., distal distance/landmarks, absolute object positions)	Confirmation Summary: - Output Semantics is Generatable - Process is Synthesizable - Comment :			-
tput	put/Ou ut	====>	VISpor_uc1 (y^{POR}) [U] Input Circuits Output Circuits MEC_II;	(Undefined interface process)	The prediction part of multimodal allocentric related information for providing to MEC II	Confirmation Summary: - Output Semantics is Generatable - Process is Leaf process w/o synthesis - Comment :	-	
Inpu tput	put/Ou ut	====>	VISpor_uo2 (y^{POR}) [U] Input Circuits Output Circuits MEC_III;	(Undefined interface process)	The observation part of multimodal allocentric related information for providing to MEC III	Confirmation Summary: - Output Semantics is Generatable - Process is Leaf process w/o synthesis - Comment :		-
Inpi		====>	RSC_uc1 (u^w) [U] Input Circuits Output Circuits MEC_III;	(Undefined interface process)	Self rotational speed information (related to head direction)	Confirmation Summary: - Output Semantics is Generatable - Process is Leaf process w/o synthesis - Comment:		
9 RO	OI .	HIP (HF) Input Circuits Output Circuits A35; VISpor;	(Composed by sub-process)	Top Level Functions for HF: (i) Self-localization, (ii) Place categorization by integrating allocentric and egocentric information	Confirmation Summary: - Output Semantics is Generatable - Process is Possibly synthesizable [W] - Comment: Output Semanticsの 実現性が不明である。			-
inR 10	ROI	====>	Hipp (Hipp) Input Circuits Output Circuits	(Composed by sub-process)	Recalled integrated semantic information	Confirmation Summary: - Output Semantics is Probably generatable [W]		-
inRo	ROI	-	====>	DG+CA3 (H^{DG}) Input Circuits	O (DG+CA3) is generated from ([LEC_II)=Z^{II}) and ([MEC_II)=X^{II}) O=P(H^{DG} Z^{II}), X^{II}))	Comment: O (DG+CA3): Recalled mixed-centric integrated semantic information	onfirmation Summary: - utput Semantics is Generatable - css is Synthesizable - Comment	
inR	ROI	-		>	DG (HA(DG)) [U] Input Circuits LEC_II MEC_II Output Circuits	O (DG) is generated from ((LEC_II)=Z^{II}) and ((MEC_II)=X^{II})	O (DG): Cue information for replaying the integrated semantic memory stored within CA3	- Output Sems. Generatable - Process is Leaf process
inR	ROI	-		>	CA3; (H^{III}) [U] Input Circuits	O=P(H^{DG} Z^{II}, X^{II})) O (CA3) is generated from I(DG)=H^{DG}, I(LEC_II)=Z^{II} and I(MEC_II)=X^{II}	C CA3): Recalled mixed-centric in grated semantic information	Confirmation Summary: - Output Semantics is Generatable - Process is Leaf process w/o
13					LEC_II MEC_II	O=P(H^{DG} H^{DG}, ,Z^{II}, X^{II})		synthesis - Comment :
inR	ROI	-	>	Hipp for LEC () Input Circuits	(Composed by sub-process)	Recalled egocentric integrated semantic information (including	C nfirmation Summary: - utput Semantics is Generatable	-
14				Output Circuits		and visual spatial information))	rocess is Synthesizable - Comment :	
inR		-	-	====>	CA1_distal (C) [U] Input Circuits CA3 LEC_III Output Circuits S_proximal; LEC_deep_uo1;	O(CA1_distal) is generated from I(CA3) and I(LEC_III)	O(CA1_distal): Extracted egocentric components of integrated semantic information	Confirmation Summary: - Output Semantics is Generatable - Process is Leaf process w/o synthesis - Comment:
16 inPo		-	-	Hinn for MFC ()	S_proximal (C') [U] Input Circuits CA1_distal Output Circuits LEC_deep_uc1; (Composed by sub-process)	O(S_proximal) is generated from I(CA1_distal)	Stored egocentric components of integrated semantic information (previous time)	Confirmation Summary: - Output Semantics is Generatable - Process is Leaf process w/o synthesis - Comment :

図: 海馬体のFunction Tree Viewerの一部

プロセス合成性:

このコンポーネントに記述されたプロセスが、下 位のコンポーネントのプロセスを合成することに よって実現できるか否かを評価

H^{DG}とH^{III} の同時分布として | H !!! の合成 書ける

ss Aは、 と評価する

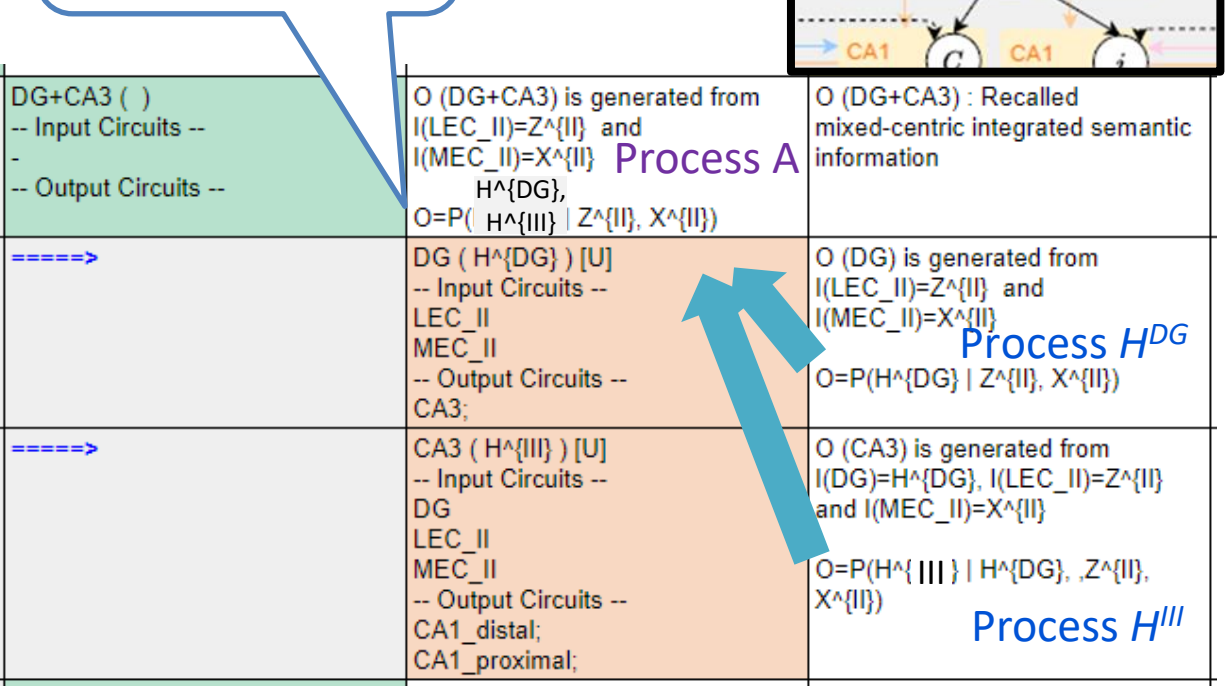
 (H^{DG})

 $H^{I\!I\!I}$

DG

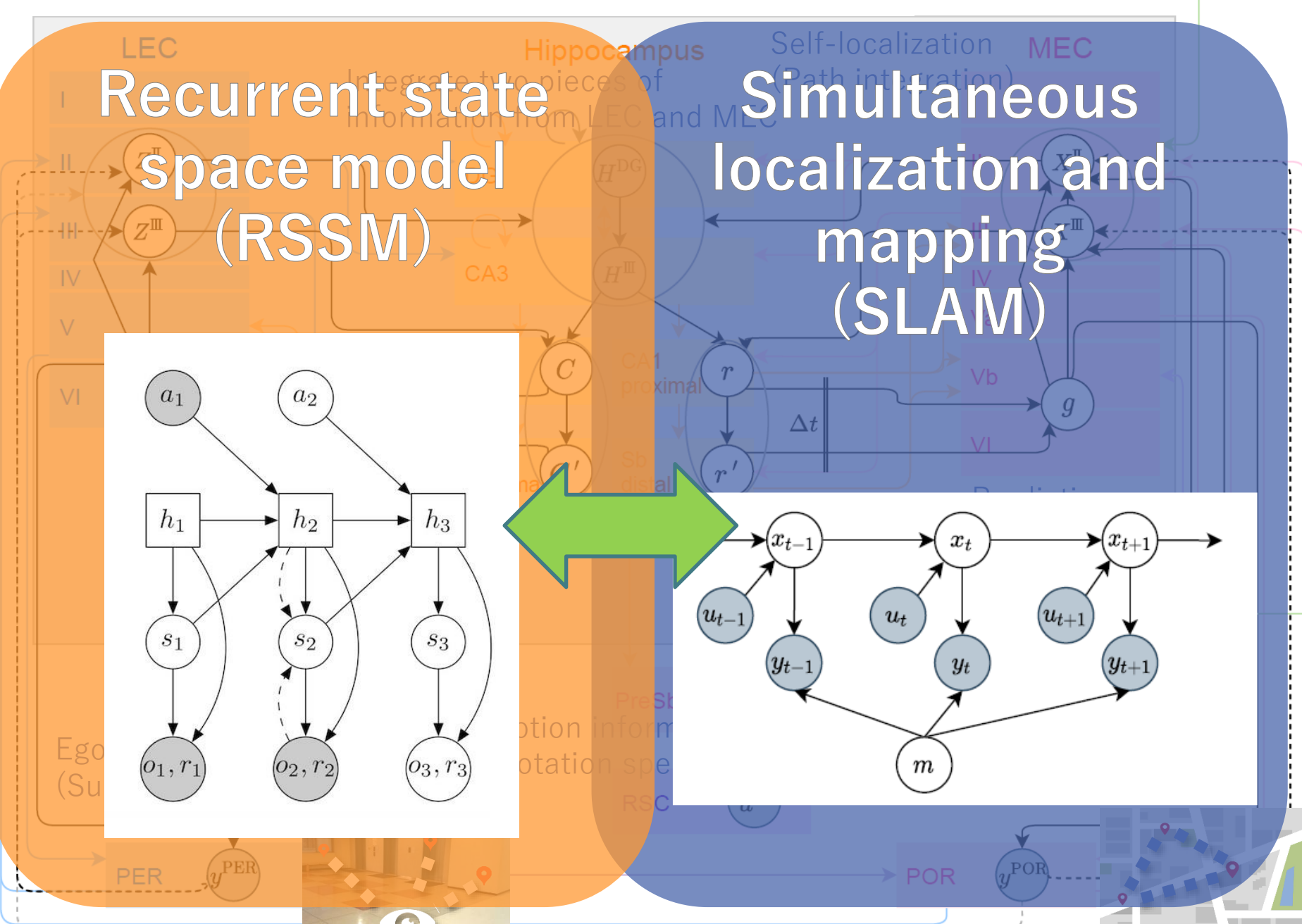
.....

CA3





HF-PGM(簡易版)の実装アイデア



Symbol	Function of components on HCD
C	Place category (internal representa-
	tion of visual spatial information)
r	Position distribution (cluster infor-
CI.	mation regarding positions)
C'	Place category at the previous time
r'	Position distribution at the previous
	time
H^{III}	Integrated semantic memory and
	episodic memory of information from
	X and Z
H_{-}^{DG}	Integrated semantic memory
X^{Π}	Self-position information, predictive
$(\{x_t\})$	distribution
X^{III}	Self-posture information (position
$(\{x_t\})$	and orientation), observation likeli-
	hood
g	Predictive representation of X (Pre-
	diction at future time regarding
	movement/speed amount or posture)
Z^{II}	Abstraction of information from
	y^{PER} (transmission of prediction,
	generation of prediction signal)
Z^{III}	Abstraction of information from
	y^{PER} (Observation transmission)
l	Predictive representation of Z (Pre-
	diction at future time from the dif-
	ference between C' and C)
X'	Self-posture information
y^{POR}	100
	Allocentric visual information (distal
$(\{y_t\})$	distance/landmarks, absolute object
	positions)
y^{PER}	Egocentric visual information (proxi-
	mal distance/landmarks, relative ob-
	ject positions, object category, land-
241	scape information)
u^w	Rotational speed movement
$(\{u_t\})$	57

まとめ

- 空間認知の機能を担うSLAMと海馬体の知見の橋渡しを目指した
- PGMベースのSLAMと海馬体の脳科学的知見をまとめ、それらの関連性を調査・議論した
- 海馬体の機能や解剖学的構造と整合性のとれたPGMを構築した
 - 布川らが提案した海馬体のBIFをベースにLECを加えたBIFに発展させ議論
 - PGMベースのSLAMやSpCoSLAMを海馬体BIFの解剖学的構造に合うように拡張
- HF-PGMの従来のSLAMとの主な違い
 - MECのみならずLECも統合してモデル化
- 今後の方向性
 - HF-PGMをWB-PGMのサブモジュールとして統合
 - 生成モデル・推論モデルの確率分布やアーキテクチャの詳細設定
 - 移動ロボットへの実装・導入

Brain-inspired probabilistic generative model for double articulation analysis of spoken language

音声言語の二重分節解析を担う 脳参照アーキテクチャの設計

室 茉央子 (立命館大)

谷口彰 (立命館大)

山川宏 (WBAI/東大/理研)

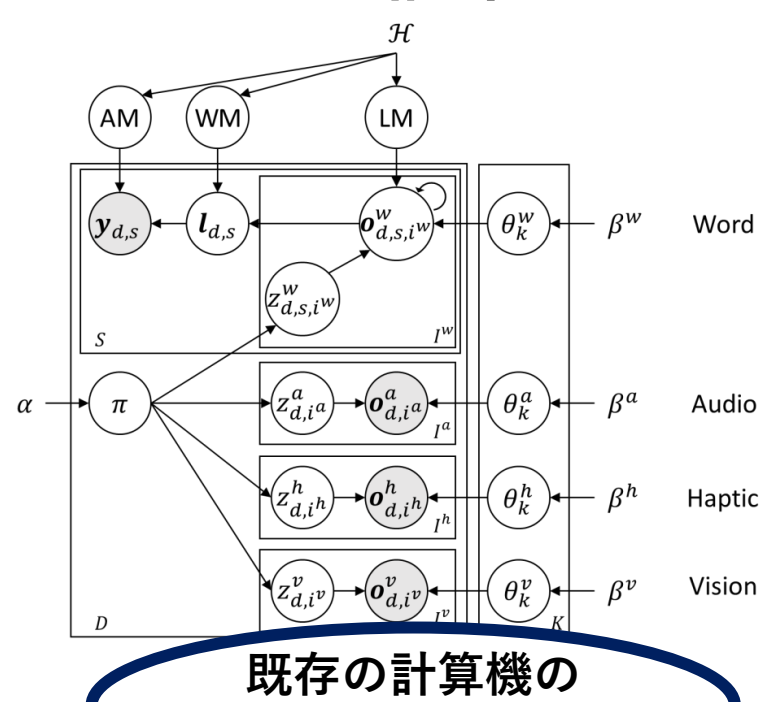
谷口 忠大 (立命館大)

Akira Taniguchi, Maoko Muro, Hiroshi Yamakawa, Tadahiro Taniguchi, "Brain-inspired probabilistic generative model for double articulation analysis of spoken language", IEEE International Conference on Development and Learning, 2022.

研究目的

脳参照アーキテクチャ開発のアプローチに基づいて 脳内の二重分節解析の構造や機能について調査し、 既存の機械学習手法を参考にしつつ、 整合性のとれた確率的生成グラフィカルモデルを構築する

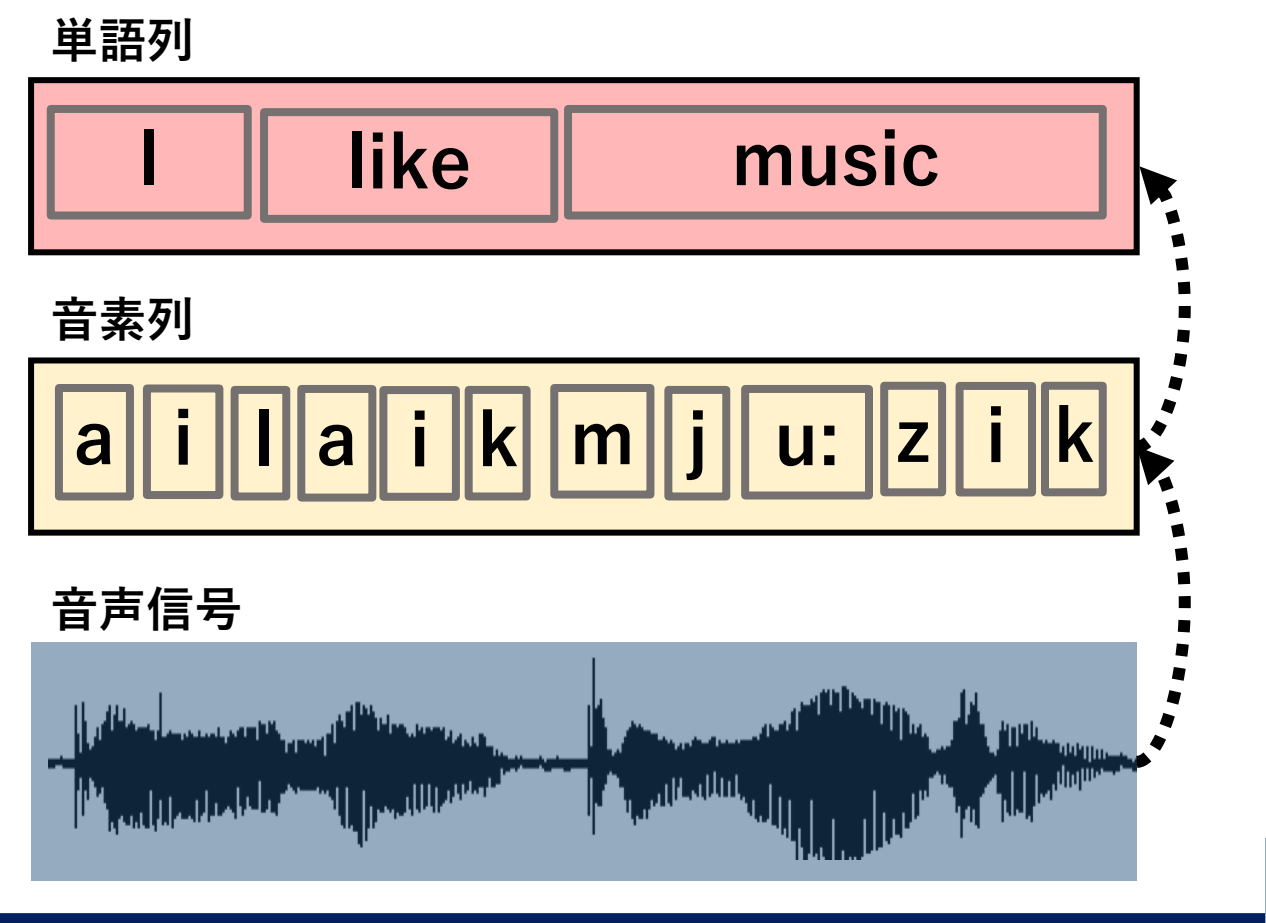


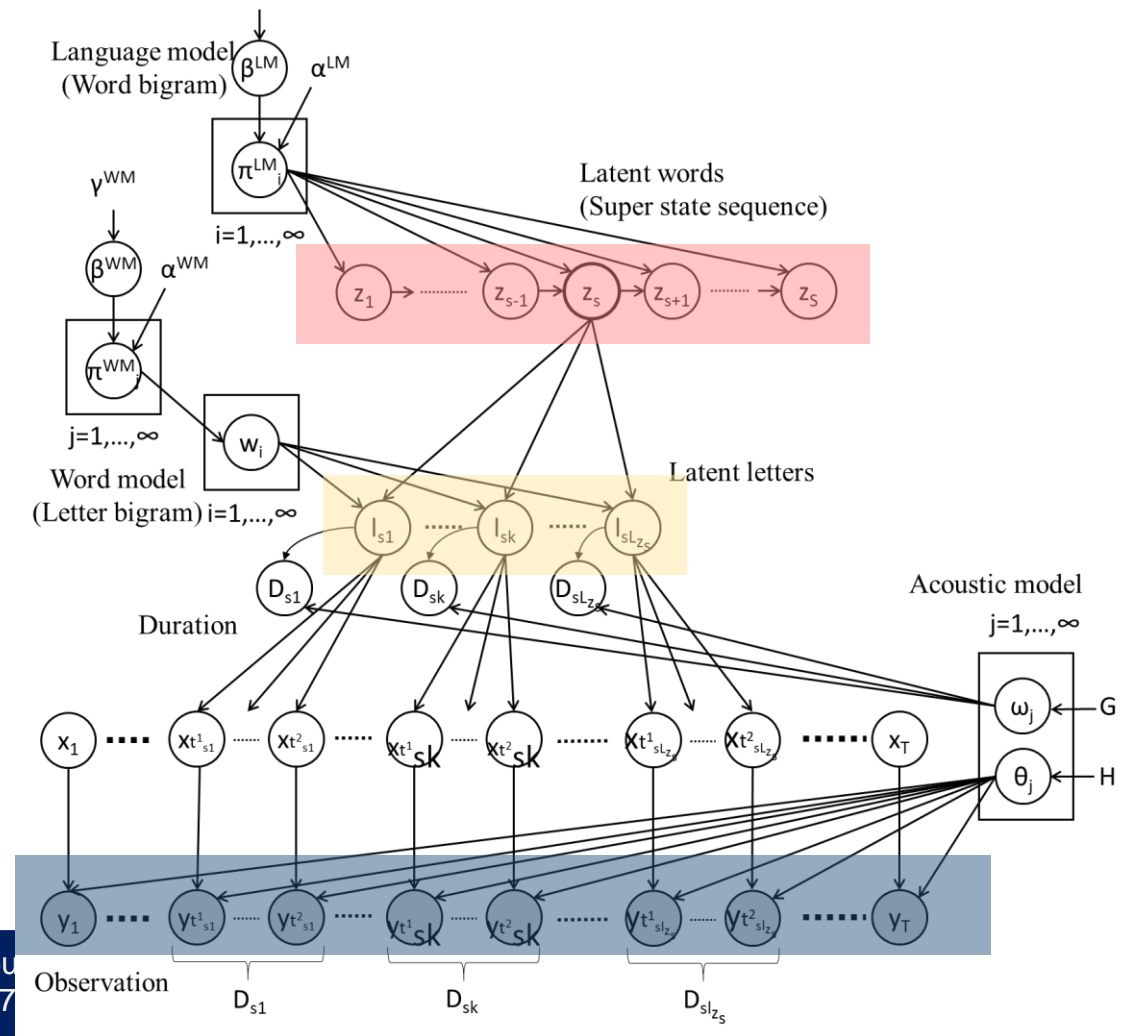


既存の計算機の 確率的生成モデル

NPB-DAA: Nonparametric Bayesian Double Articulation Analyzer [3]

• 音声の音響特徴量から発話中の音素・単語を発見





[3]Taniguchi, Tadahiro, Shogo Nagasaka, and Ryo Nakashima. "Nonparametric bayesian dous speech signals." *IEEE Transactions on Cognitive and Developmental Systems* 8.3 (2016): 17

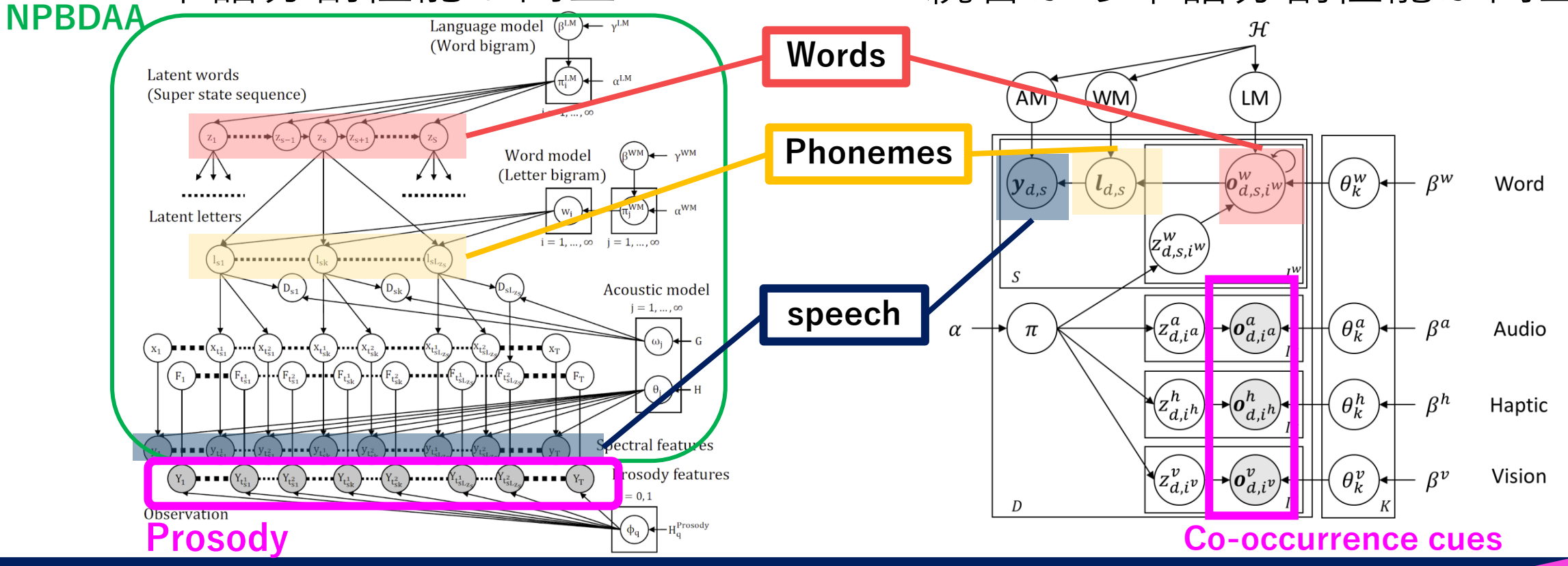
Previous study: Extended NPB-DAA

ProsodicDAA[4]

• プロソディの付与することで 単語分割性能が向上

NPB-DAA + MLDA[2]

・聴覚・視覚・触覚情報の 統合から単語分割性能が向上



NPB-DAAを応用した音声言語獲得手法

ProsodicDAA[4]

• プロソディの付与することで 単語分割性能が向上

NPB-DAA + MLDA[2]

・ 聴覚・視覚・触覚情報の 統合から単語分割性能が向上



単語列

ヒトの脳を参考にして作られていない

▶ヒトの脳内の構造や処理の過程と

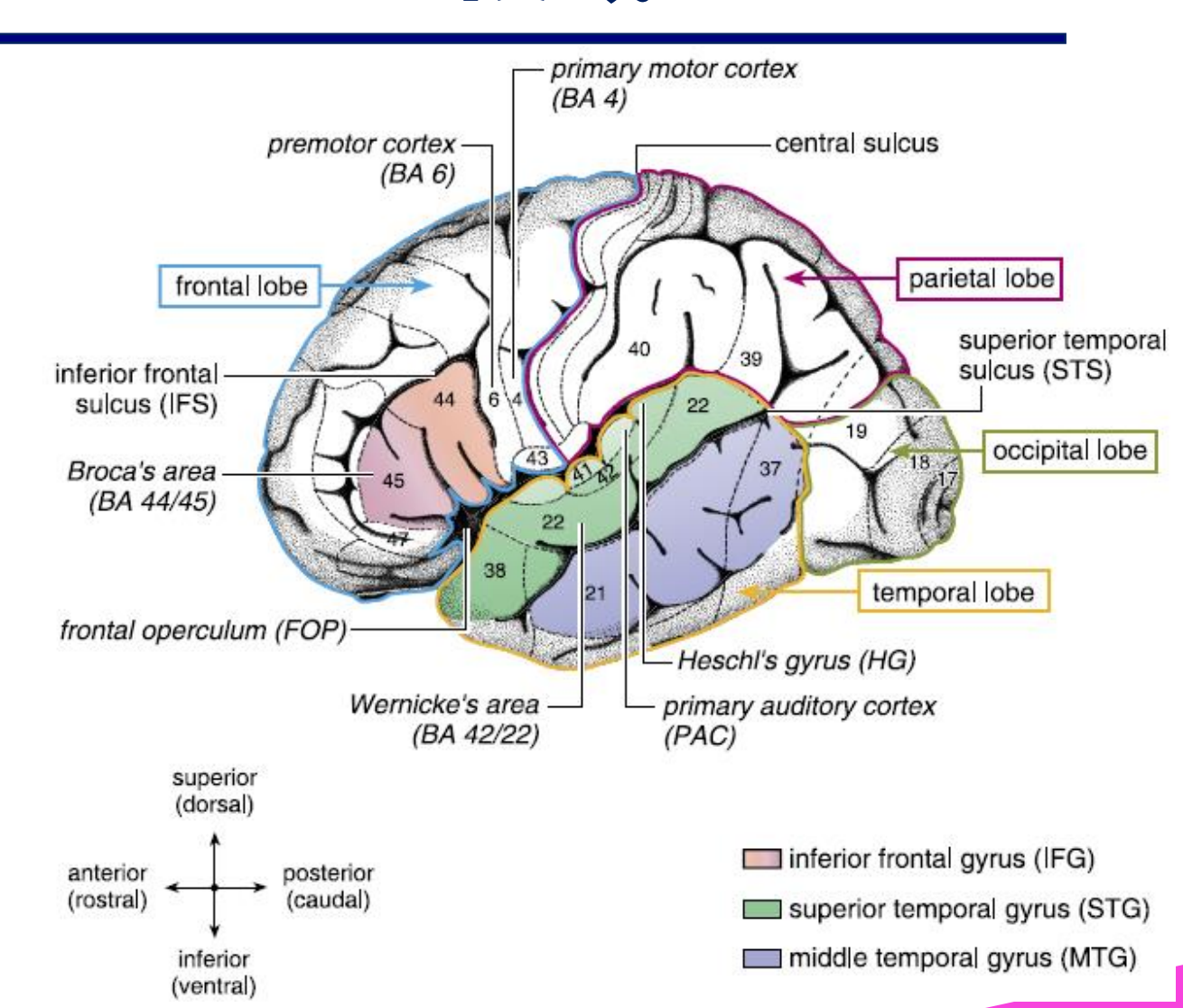
一致しているかどうか検証されていない





調査内容 -音声言語に関わる領域-[6-16]

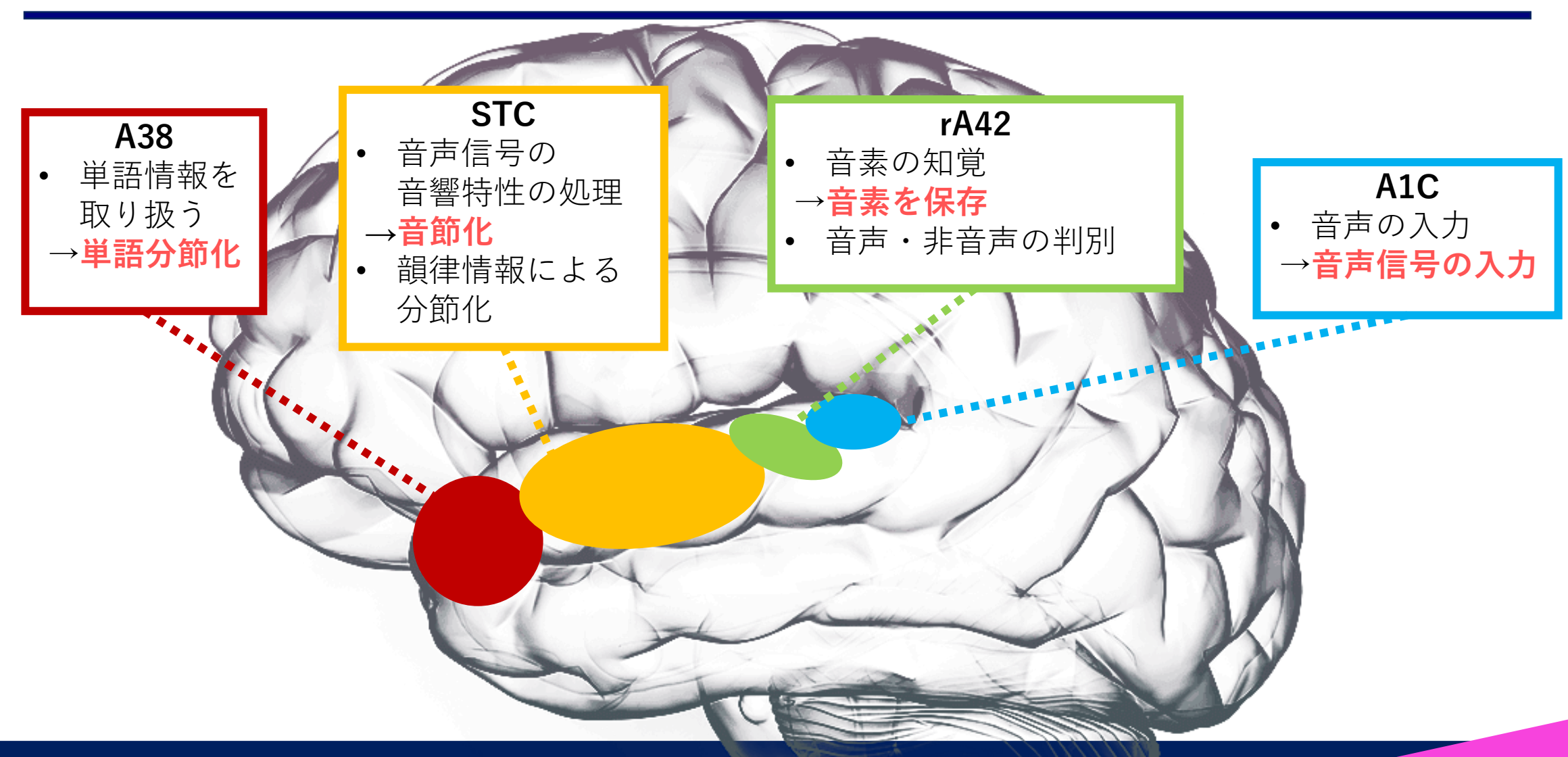
- 一次聴覚野(A1C):音声信号の入力,スペクトルの時系列分析と音韻的分析
- 二次聴覚野(rA42): 音素の知覚, 音声・非音声の判別
- ブロードマンエリア22(A22): 音声信号の音響特性の処理, 音韻貯蔵・音韻表象の形成
- ブロードマンエリア38(A38): 単語情報を扱う, モダリティの意味情報のハブ



二重分節解析に関わりそうな文献一覧 [6-16]

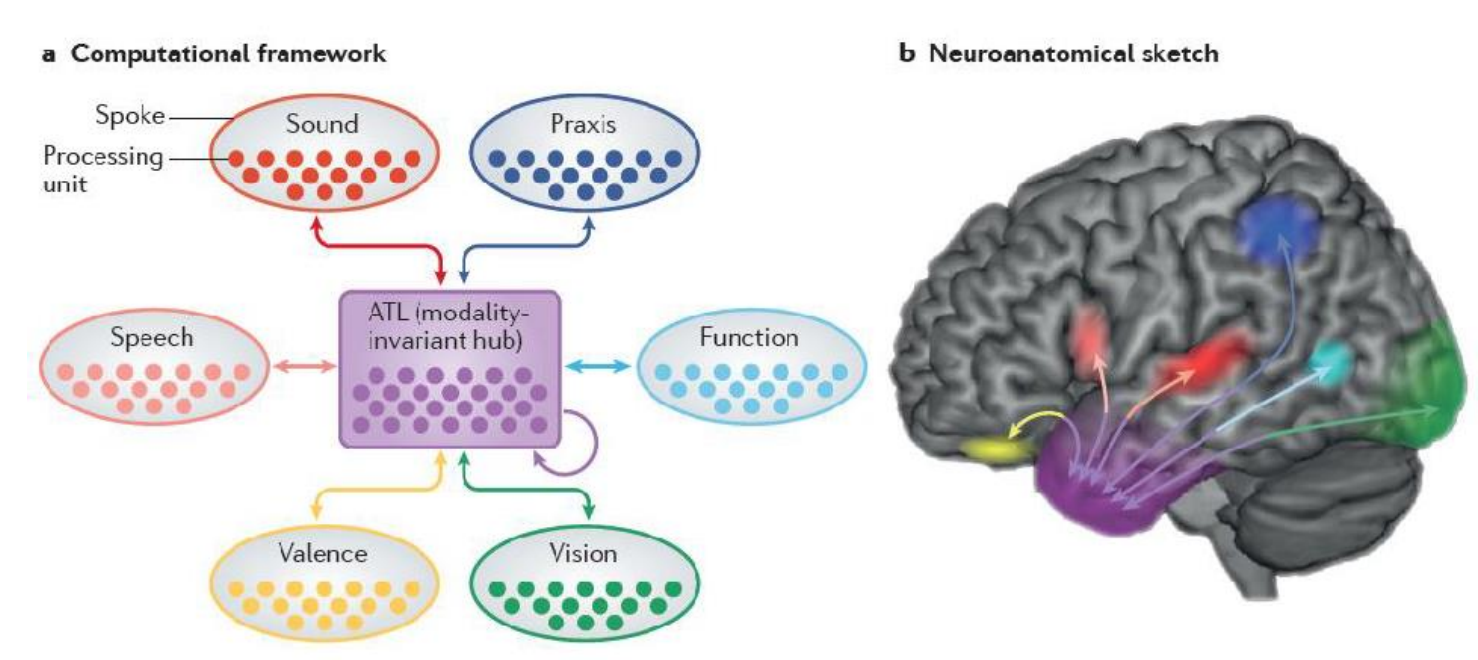
Reference ID	Authors	Туре		Title	DOI
Chang, 2015	Chang, E. F., Raygor, K. P., & Berger, M. S.	Article *	- 1	Contemporary model of language organization: an overview for neurosurgeons.	10.3171/2014.10.JNS132647
Marslen-Wilso n, 2007	Marslen-Wilson, W. D., & Tyler, L. K.	Article [¬]	- 1	Morphology, language and the brain: the decompositional substrate for language comprehension.	10.1098/rstb.2007.2091
Cognition, 2004	P. Indefrey, W.J.M. Levelt	Article [¬]	- 1	The spatial and temporal signatures of word production components	
Front. Neurosci., 27 March 2018	Francisco Aboitiz	Article *	- 1	A Brain for Speech. Evolutionary Continuity in Primate and Human Auditory-Vocal Processing	10.3389/fnins.2018.00174
Brain Sci. 2018	Tatsuya Daikoku	Article *		Neurophysiological Markers of Statistical Learning in Music and Language: Hierarchy, Entropy and Uncertainty	10.3390/brainsci8060114
Friederici, 2011	Friederici, A. D.		~	The brain basis of language processing: from structure to function. Physiological Reviews, 91(4), 1357–1392.	10.1152/physrev.00006.2011
Ralph, 2017	Matthew A. Lambon Ralph, Elizabeth Jefferies, Karalyn Patterson & Timothy T. Rogers	Article	~	The neural and computational bases of semantic cognition	
Fridriksson, 2018	Fridriksson, J., den Ouden, DB., Hillis, A. E., Hickok, G., Rorden, C., Basilakos, A., Yourganov, G., & Bonilha, L. (2018).	Article		Anatomy of aphasia revisited. Brain: A Journal of Neurology, 141(3), 848–862.	10.1093/brain/awx363
J. Neurosci., March 6, 2013	Michael F. Bonner1 and Amy R. Price	Article	~	Where Is the Anterior Temporal Lobe and What Does It Do?	
Gupta2020	Anu Gupta, MV Padma Srivastava	Article [¬]	~	Newer Paradigms in Language Neurobiology	10.4103/aian.AIAN_487_20
Bajada2015	Claude J. Bajada, Matthew	Article "		Transport for language south of the Sylvian fissure: The routes and history of the main tracts and stations in the ventral language network	

二重分節解析機能に関係する領域と対応する機能

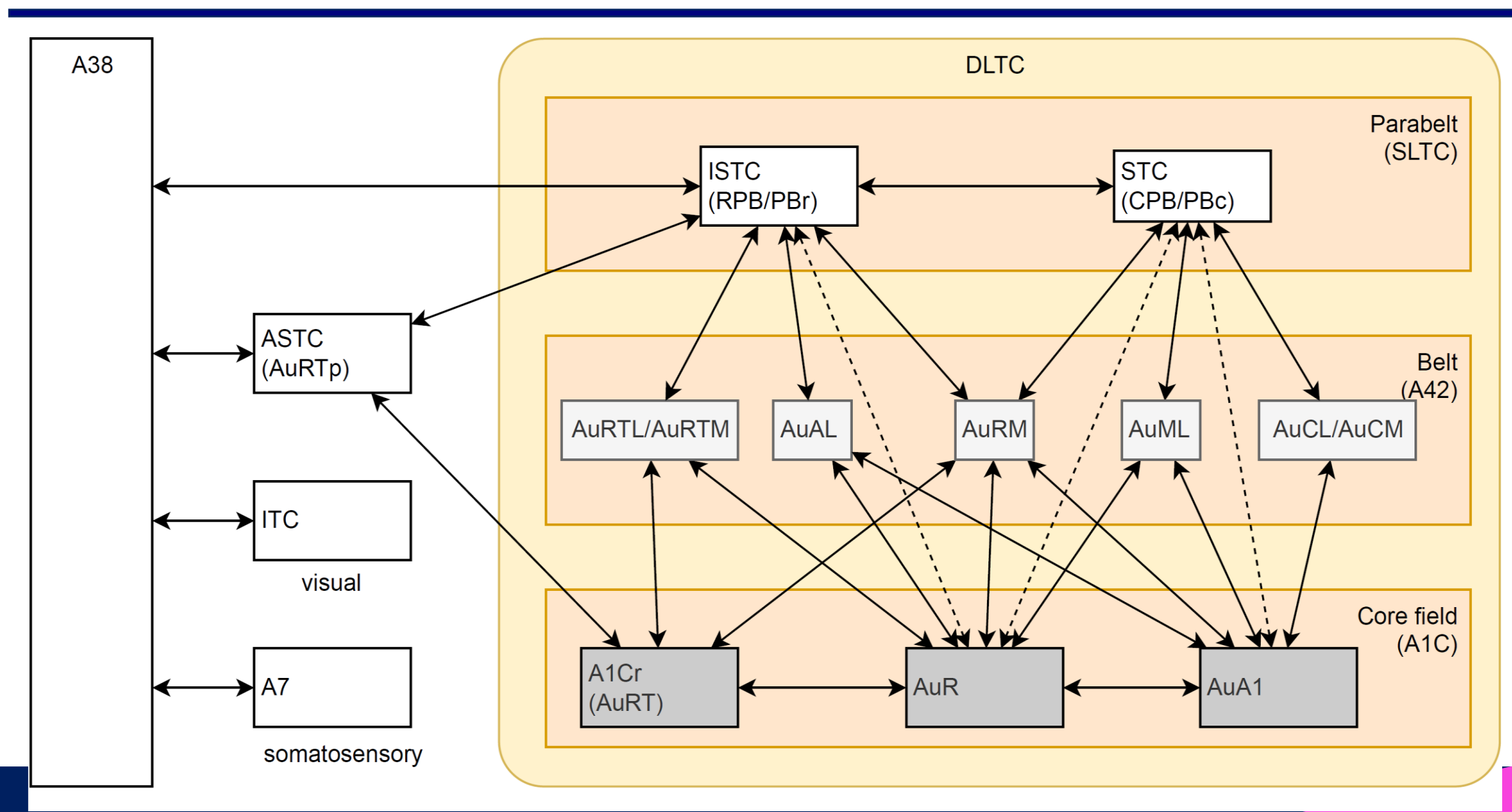


モダリティの意味情報のハブ [6-16]

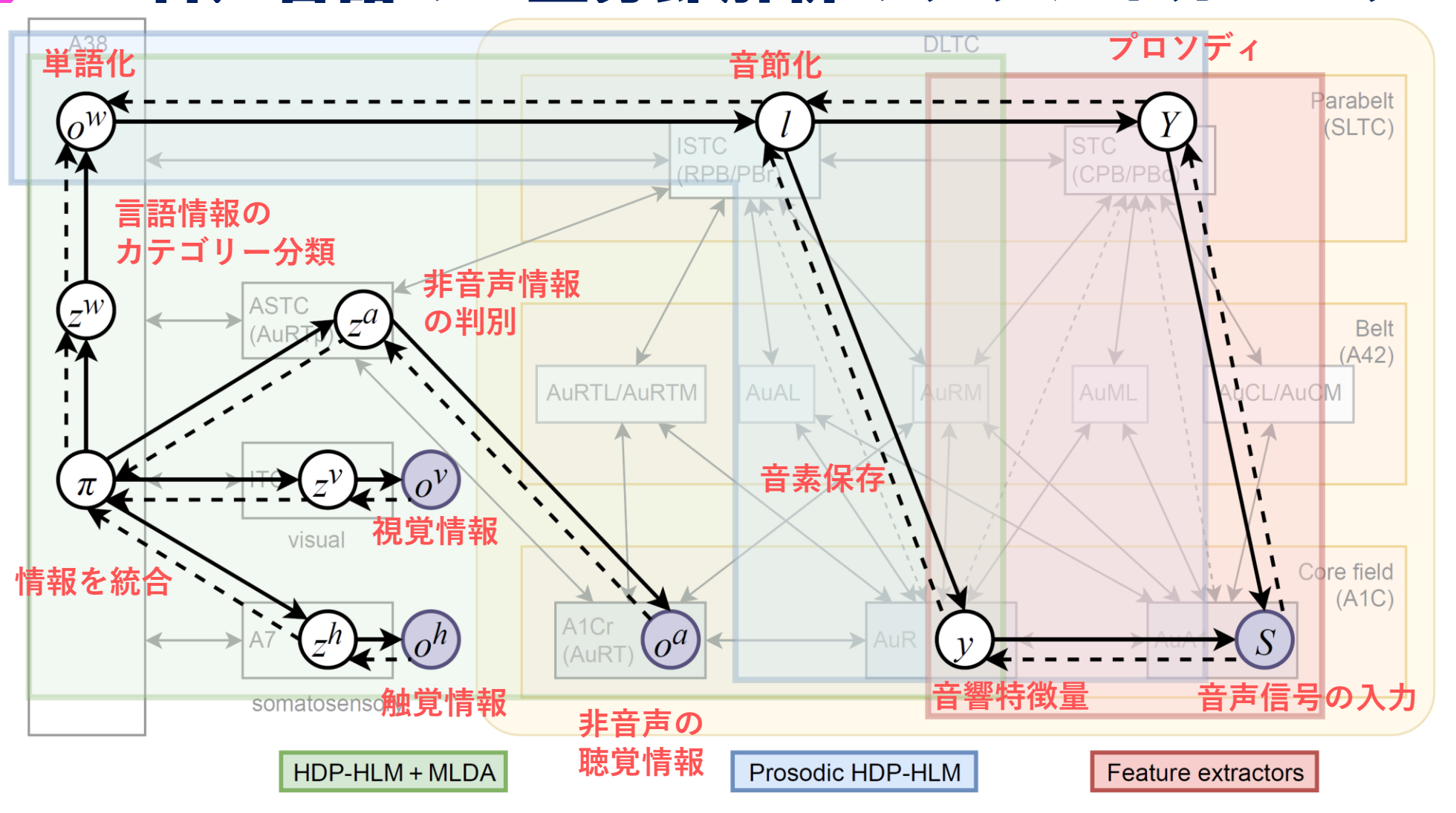
- ハブ&スポークモデル:
 - 言語および非言語的な経験による 概念を構築するための中核的な 材料(material)となり、 これらの情報源は脳全体に 分布している特異的な皮質 (=スポーク)に 対応していると仮定したモデル
- 全モダリティ固有な情報源の クロスモーダルな相互作用は、 the anterior temporal lobes (ATLs) の両側に位置する 単一のトランスモーダルハブに よって媒介されると提唱している

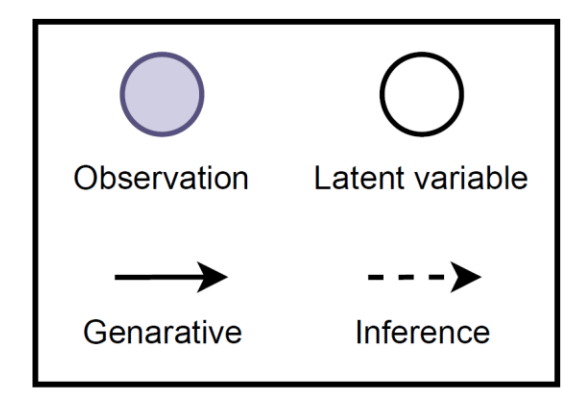


Brain information flow (BIF)



BIFの上に配置した 音声言語の二重分節解析のグラフィカルモデル





まとめ・今後の展望

まとめ

- 脳の解剖学的知見から**二重分節解析の脳情報フロー図を設計**
- 設計した図から二重分節解析機能の関心脳領域と機能を設定し 仮説を立てた
- ・立てた仮説から確率的生成モデルを構築し、既存モデルとの 変数の表現や確率分布の機能の一致を確認できた

今後の展望

- 音声の二重分節解析モデルの実装
- ・提案したグラフィカルモデルにおいて捉えられていない範囲に おけるモデルの拡張

後継者・共同研究者 募集

- HF-PGM・音声言語の二重分節のPGMの実装・導入など、 Brain-inspired PGMやWB-PGMの取り組みや共同研究に興味・ 関心のある方は、お気軽にお声がけください。
 - ─ 谷口彰: <u>a.taniguchi@em.ci.ritsumei.ac.jp</u>
 - 山川宏: ymkw@wba-initiative.org

ご清聴ありがとうございました

本研究にあたっては、

新学術領域研究「人工知能と脳科学の対照と融合」 新学術領域研究「脳情報動態を規定する多領野連関と並列処理」 を含む多くの皆様のご支援を得て進めることができたことに感謝致します。



